

# 1 Grundlagen

## Axiome der Quantenmechanik

Ziel: Physik in Quantum computing zu elim.

kontinuierliche Quantenmodelle: formuliert durch Evolution  $U(t)$  von Zustand  $\Psi(t)$

Ann. •)  $U$  - operator  $\xrightarrow{\text{Hamitonian}}$

→ stetig  $U(\varepsilon) = I - i\varepsilon H$   $\xrightarrow{\varepsilon > 0 \text{ klein}}$

→ umkehrbar

$$U(t)^T U(t) = I$$

$$\Rightarrow U(\varepsilon) \Psi(t) = \Psi(t + \varepsilon)$$

$$= \Psi(t) - i\varepsilon H \Psi(t)$$

$$\Leftrightarrow \frac{\Psi(t + \varepsilon) - \Psi(t)}{\varepsilon} = -i H \Psi(t)$$

$$\lim_{\varepsilon \rightarrow 0} \Rightarrow \Psi'(t) = -i H \Psi(t)$$

Schrödinger Gleichung

→ Lösungsformel

$$\psi(p+t) = e^{-iHt} \psi(p)$$

$U(t)$  ... unitären Operator

→ motiviert Axiome

---

Dirac Notation      bra/ket Vektoren

$V$  ... komplexer Vektorraum

statt  $v \in V \rightarrow |v\rangle$  ... ket Vektor

falls  $\dim V < \infty \rightarrow$  wähle ONB

"  
N

$|0\rangle, |1\rangle, \dots, |N-1\rangle$

---

Definition      Quantenzustand ist Superposition von klass. Zuständen

$$|\phi\rangle = \alpha_0 |0\rangle + \dots + \alpha_{N-1} |N-1\rangle$$

$\alpha_i \in \mathbb{C}$  ... Amplitude von  $|i\rangle$  in  $|\phi\rangle$

→ interpretiere  $|\phi\rangle = \begin{pmatrix} d_0 \\ \vdots \\ d_{N-1} \end{pmatrix}$  Vektoren  
Amplituden

$|\phi\rangle^H = (\bar{d}_0, \dots, \bar{d}_{N-1}) \approx \langle \phi | \dots$  bre  
Vektor

→ inneres Produkt

$$\langle \phi, \psi \rangle =: \langle \phi | \psi \rangle = \langle \phi | \cdot | \psi \rangle$$

ab jetzt:

$V = H$  ... Hilbert Raum

---

(QM 1) Der Zustand eines (isolierten) quanten Systems ist durch einen Einheitsvektor ( $\|u\|_H = 1$ ) in einem komplexen Hilbertraum gegeben.

---

Ex.  $N=2$   $|\phi\rangle = a|0\rangle + b|1\rangle$   $|a|^2 + |b|^2 = 1$

---

Def. Ein Quantensystem mit 2dimensionalem Zustandsraum (ONB  $|0\rangle, |1\rangle$ ) heißt qubit.

## (QM2) Zusammensetzung von Systemen:

$S_1$  -- Zustandsraum  $V$

$S_2$  -- Zustandsraum  $W$

→ kombinierter System:  $V \otimes W$   
tensor Produkt

---

### Exkurs: Tensor Produkt von HR

$V, W \quad HR$

Ziel: formelle Def. von  $V \otimes W$

•) Definiere „freien Vektorraum“

$\mathcal{F}(V, W)$ : alle endl. Linearkomb. in  $V \times W$

$$\mathcal{F}(V, W) = \left\{ \sum_{j=1}^n \alpha_j (v_j, w_j) : v_j \in V, w_j \in W, \alpha_j \in \mathbb{C} \right\}$$

abgeschlossen bzgl.  $+$ ,  $\lambda \cdot \rightarrow VR$

Anm.  $(v_1, w) + (v_2, w)$  formal verschieden  
von  $(v_1 + v_2, w)$  !

•) Übertrage VR Struktur von  $V, W$   
auf  $F(V, W)$

Ziel:  $(v_1 + v_2) \otimes w = v_1 \otimes w + v_2 \otimes w$   
 $v \otimes (w_1 + w_2) = v \otimes w_1 + v \otimes w_2$   
 $c(v \otimes w) = (cv) \otimes w + v \otimes (cw)$

Def. Unterraum:

$$U(V, W) = \text{span} \left\{ \sum_{j, k=1}^n \alpha_j \beta_k (v_j, w_k) - \left( \sum_{j=1}^n \alpha_j v_j, \sum_{k=1}^n \beta_k w_k \right) \right\}$$

$$\Rightarrow \cdot) U(V, W) \subseteq F(V, W)$$

$$\cdot) U(V, W) \neq \emptyset$$

-)  $U(V, W)$  linear

$\Rightarrow$  Äquivalenz relation

$$(v_1, w_1) \sim (v_2, w_2) \Leftrightarrow (v_1, w_1) - (v_2, w_2) \in U$$

-) Betrachte  $F(V,W)/\sim$

Äquivalenzklasse  $(v,w) \in F(V,W)/\sim$   
 $\stackrel{!!}{\sim}$   
 $v \otimes w$

$\rightarrow VR$  Struktur

.) Topologie:  $\langle \cdot, \cdot \rangle_V, \langle \cdot, \cdot \rangle_W$  IP auf  $V \otimes W$

definiere

$$\langle v_1 \otimes w_1, v_2 \otimes w_2 \rangle := \langle v_1, v_2 \rangle_V \langle w_1, w_2 \rangle_W$$

ist Sesqui-linear form, weil

$$b: (V,W, V,W) : (V \times W) \times (V \times W)$$

$$\hookrightarrow \langle v_1, v_2 \rangle_V \langle w_1, w_2 \rangle_W$$

mult: linear (weil  $V, W$  HR)

$$\otimes \times \otimes: (V \times W) \times (V \times W) \rightarrow (V \otimes W) \times (V \otimes W)$$

bilinear (nach Konstruktion)

$$\Rightarrow b = \langle \cdot, \cdot \rangle \circ \otimes \times \otimes$$

$\Rightarrow \langle \cdot, \cdot \rangle$  Sesqui-linear

.) Definitheit: Zeige  $\langle \psi, \psi \rangle \geq 0$  für  $\psi \neq 0$

Sei  $\psi = \sum_i \lambda_i v_i \otimes w_i \in GF/\sim$

wähle ONB  $\{v_i\}$  von  $\text{span}\{v_i\}$   
 $\{\psi_i\}$  von  $\text{span}\{w_i\}$

aus Det. der Äquivalenzklassen:

$$\psi = \sum_{j,k} d_{jk} (\psi_j \otimes \psi_k)$$

$$d_{jk} = \sum_i \lambda_i \langle \psi_j, v_i \rangle_v \langle \psi_k, w_i \rangle_w$$

$$\Rightarrow \langle \psi, \psi \rangle = \sum_{j,k} |d_{jk}|^2 \geq 0$$

da sonst  $d_{jk}=0$

$d_{jk} \Rightarrow \psi_{j,k}$

.) Verallgemeinerung von  $F/\sim$

$$\text{bezüglich } \| \psi \|^2 = \langle \psi, \psi \rangle$$

$\sim \circledast V \otimes W$

Lemma Sei  $\{\ell_i\}$  ONB von  $V$   
 $\{\psi_j\}$  ONB von  $W$   
 $\Rightarrow \{\ell_i \otimes \ell_j\}$  ist ONB von  $V \otimes W$

---

Bew: Orthonormerset von Def.  $\langle \cdot, \cdot \rangle$   
+ ONB von  $V, W$

d.h.  $\{\ell_i, \psi_j\}$  ONBs  $\Rightarrow \text{span}\{\ell_i \otimes \ell_j\}$   
dicht in  $F/\sim$   
Gesucht in  
 $V \otimes W$   $\square$

Bsp:  $\mathbb{R}^2 \otimes \mathbb{R}^2 = \text{span}\{(1) \otimes (1), (1) \otimes (0), (0) \otimes (1), (0) \otimes (0)\}$

$\Rightarrow \dim = 4$  „2-qubit State“

$\therefore \mathbb{R}^3 \otimes \mathbb{R}^2 \sim \dim = 6$

Allgemein: aus obigem Lemma:

$\dim V = n, \dim W = m \Rightarrow \dim V \otimes W = n \cdot m$

vgl.:  $\dim V \times W = n + m$   $\delta$

Bsp.  $H \otimes H \Rightarrow H \otimes \mathbb{C}^n = H^n = H \times \dots \times H$

Bem. Konstruktion von Tensorprodukt ist eindeutig bis auf unitäre Transformation:

Falls  $\bar{\otimes}$  -- sesquilineare Abb., verträglich mit  $\langle \cdot, \cdot \rangle_v, \langle \cdot, \cdot \rangle_w$

$\Rightarrow \exists$  Unikat:  $V \bar{\otimes} W \rightarrow V \otimes W$

n-qubit System:  $2^n$  Basis Zustände

Schreibweise  $|b_1 b_2 \dots b_n\rangle := |b_1\rangle \otimes \dots \otimes |b_n\rangle$

Basis Zustände  $\sim$  reellen Zv

$|0\rangle, \dots, |2^n-1\rangle$

$\leadsto$  Register von n-qubits: Superposition

$$d_0|0\rangle + \dots + d_{2^n-1}|2^n-1\rangle \quad \sum_{j=0}^{2^n-1} |d_j|^2 = 1$$

Definition Zustand  $| \psi \rangle$  heißt

Produktzustand, wenn

$$| \psi \rangle = | v_1 \rangle \otimes \dots \otimes | v_n \rangle \quad v_i \in \mathcal{H}$$

falls nicht möglich: verschränkter Zustand  
(auch EPR-Paar)

---

Bsp  $\frac{1}{\sqrt{2}} | 00 \rangle + \frac{1}{\sqrt{2}} | 11 \rangle$  verschränkt

„Bell state“

$$\begin{aligned} \text{da } \frac{1}{\sqrt{2}} | 00 \rangle + \frac{1}{\sqrt{2}} | 11 \rangle &= (a|0\rangle + b|1\rangle) \cdot (c|0\rangle + d|1\rangle) \\ &= ac|00\rangle + ad|01\rangle + \\ &\quad bc|10\rangle + bd|11\rangle \end{aligned}$$

$$\Rightarrow ac = bd = \frac{1}{\sqrt{2}} \quad \wedge \quad ad = bc = 0$$

$$\underbrace{a}_{\uparrow} \cdot \underbrace{d}_{\uparrow} = 0$$

---

$$\frac{1}{\sqrt{2}} | 00 \rangle + \frac{1}{\sqrt{2}} | 10 \rangle = (\frac{1}{\sqrt{2}} | 0 \rangle + \frac{1}{\sqrt{2}} | 1 \rangle) \otimes | 0 \rangle$$

Produktzustand

(QM3) Evolution eines Quantensystems  
geschieht nur durch unitäre  
Operatoren spiegeln am Zustandsraum

---

qubit  $|\psi\rangle = d_0|0\rangle + d_1|1\rangle \quad |d_0|^2 + |d_1|^2 = 1$

$$\rightarrow U|\psi\rangle = |\psi'\rangle = \beta_0|0\rangle + \beta_1|1\rangle$$

damit qubit  $|\beta_0|^2 + |\beta_1|^2 = 1$

die  $U$  unitär  $\checkmark \rightarrow$  erhält Längen  $\%$

---

(QM4) Messung von Quantenzuständen:  
gibt nur Wahrscheinlichkeitsverteilung

Born Regel: Man sieht Zustand  $|j\rangle$   
mit Wahrscheinlichkeit

$$\text{"Messung in Basis"} \rightarrow |d_j|^2$$

Messung ist invasiv (vgl. Schrödinger's Katze)

$|\psi\rangle$  kollabiert zu klass. Zustand  
 $|j\rangle$

Projektive Messung:  $V_-$  Zustandsraum  
 $\dim V_- \leq n < \infty$

def.  $P_i \dots$  orthog. Proj. auf  $V_i \subseteq V$

mit  $\sum_{j=1}^m P_j = I$

$i=1, \dots, m$

$$\begin{cases} P_i P_j = 0 \\ P_i P_i = P_i \end{cases}$$

→  $m$  mögliche Ergebnisse

$$V \ni |\psi\rangle = \sum_{j=1}^m |\psi_j\rangle \quad \text{mit } |\psi_j\rangle = P_j |\psi\rangle \in V_j$$

→ Messergebnis  $j$  mit Wahrscheinlichkeit

$$\| |\psi_j\rangle \| ^2 = \langle \psi | P_j P_j | \psi \rangle = \langle \psi | P_j | \psi \rangle$$

Und Zustand kollabiert zu

$$\frac{|\psi_j\rangle}{\| |\psi_j\rangle \|}$$

- Bem.
- ) Man kann nicht a priori auswählen,  $\nu_{j_2}$  <sup>nur</sup> welche Proz.  $P_j$  angewandt wird
  - nur Wahrsch. 0
  - ) Aber, wenn  $| \phi \rangle \in V_j \sim$  Messung liefert  $j$  mit  $P=1$
- 

Bsp  $V = \text{span} \{ | 0 \rangle, \dots, | N-1 \rangle \}$   $V_j = | j \rangle$

→ Born's Regel, da

$$P_j | \phi \rangle = d_j | j \rangle$$

$$\begin{aligned} \text{Wahrsch. } \| P_j | \phi \rangle \| ^2 &= \| d_j | j \rangle \| ^2 \\ &= | d_j | ^2 \end{aligned}$$

$$\text{hier } P_j = | j \rangle \langle j | \quad \text{rang } 1$$

"Complete measurement"

---

Bsp Messung, die nur unterscheidet, ob  $| j \rangle$  mit  $j < N/2$  oder  $j \geq N/2$

# Projektoren

$$P_1 = \sum_{j < N/2} |j\rangle\langle j|$$

$$P_2 = \sum_{j \geq N/2} |j\rangle\langle j|$$

für  $|\phi\rangle = \frac{1}{\sqrt{3}} |1\rangle + \sqrt{\frac{2}{3}} |N\rangle$

$$\rightarrow 1 \text{ mit Wahr. } \|P_1|\phi\rangle\|^2 = \frac{1}{3}$$

$$2 \text{ mit } -4- \quad \|P_2|\phi\rangle\|^2 = \frac{2}{3}$$

„incomplete measurement“

---

# Elementare Operationen auf Qubits - Gates

Definition Unitäre Operation auf kleiner Anzahl an qubits heißt "Gate".

Vgl. AND OR XOR für bits

1 qubit gates

Bit flip  $\times$  ("NOT") tauscht  $|0\rangle, |1\rangle$

$$X = \begin{pmatrix} 0 & 1 \\ 1 & 0 \end{pmatrix}$$

Phase flip spiegelt  $|1\rangle$

$$Z = \begin{pmatrix} 1 & 0 \\ 0 & -1 \end{pmatrix}$$

Spezialfall von  $R_\phi$  - Phasengate

$$R_\phi = \begin{pmatrix} 1 & 0 \\ 0 & e^{i\phi} \end{pmatrix} \quad (Z=R_\pi)$$

rotiert  $|1\rangle$  um  $\phi_G[-\bar{u}, \bar{u}]$

$R_{\frac{\pi}{4}}$  -- T-gate

## Hadamard gate

wichtigste 1 qubit Op.

$$H = \frac{1}{\sqrt{2}} \begin{pmatrix} 1 & 1 \\ 1 & -1 \end{pmatrix}$$

$$\sim H|10\rangle = H \cdot \begin{pmatrix} 1 \\ 0 \end{pmatrix} = \begin{pmatrix} \frac{1}{\sqrt{2}} \\ \frac{1}{\sqrt{2}} \end{pmatrix} \simeq \frac{1}{\sqrt{2}}|10\rangle + \frac{1}{\sqrt{2}}|11\rangle$$

$\rightarrow$  gl. Wahrsch. für  $|10\rangle, |11\rangle$

$$H = H^T = H^{-1} \Rightarrow H\left(\frac{1}{\sqrt{2}}|10\rangle + \frac{1}{\sqrt{2}}|11\rangle\right) = |10\rangle$$

## 2 qubit gates

Q: Wie implementiert man  $a \oplus b$ ?

$a \setminus b$	0	1
0	0	1
1	1	0

$(a, b) \mapsto a \oplus b$   
nicht unitär

$\sim$  mache  $(a, b) \mapsto (a, a \oplus b)$

$(a, b)$	$ 100\rangle$	$ 01\rangle$	$ 11\rangle$	$ 11\rangle$	permutation
$(a, a \oplus b)$	$ 100\rangle$	$ 01\rangle$	$ 11\rangle$	$ 10\rangle$	$\sim$ unitary

„CNOT“ controlled not

$$\text{CNOT } |0\rangle |b\rangle = |0\rangle |b\rangle$$

$$\text{CNOT } |1\rangle |b\rangle = |1\rangle |1-b\rangle$$

„negiert 2. qubit („target qubit“)

wenn 1-qubit 1 („control qubit“)

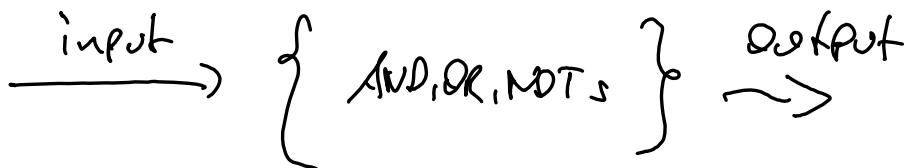
$$\text{CNOT} = \begin{pmatrix} 1 & 0 & 0 & 0 \\ 0 & 1 & 0 & 0 \\ 0 & 0 & 0 & 1 \\ 0 & 0 & 1 & 0 \end{pmatrix}$$

---

Circuits  
Programmierung mittels quantum circuits

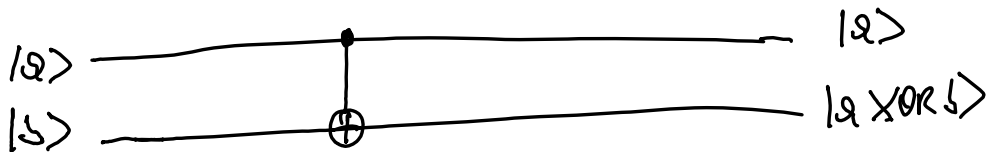
klass. Computer: Boolean circuit:

endlicher gerichteter Graph mit  
AND, OR, NOT Operationen



Qu. circuit, ersetze AND, OR, NOT durch  
QUBITS

# Circuit diagram CNOT



3 qubit gate

Q: Wie geht  $a \text{ AND } b$ ?

$a \backslash b$	0	1
0	0	0
1	0	1

.)  $(a, b) \mapsto (a, a \text{ AND } b)$  nicht bijektiv  
 ~ nicht eindeutig

.)  $\rightarrow$  nehme 3 qubits

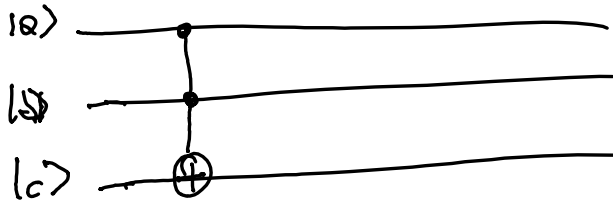
$|abc\rangle \mapsto |ab\text{ XOR}(a \text{ AND } b)\rangle$

$ abc\rangle$	$ 100\rangle$	$ 101\rangle$	$ 101\rangle$	$ 101\rangle$	$ 100\rangle$	$ 101\rangle$	$ 110\rangle$	$ 111\rangle$
res.	$ 1000\rangle$	$ 1001\rangle$	$ 1010\rangle$	$ 1011\rangle$	$ 1100\rangle$	$ 1101\rangle$	$ 1110\rangle$	$ 1111\rangle$

für  $c=10\rangle \rightarrow$  Output  $|ab\text{ AND }b\rangle$   
 univ für die Permutation

Extra qubit  $|c\rangle$  heißt „ancilla“ qubit  
„Diener“

$\sim$  CNOT gate oder Toffoli gate



$U$  (prinzipiell: Universal, n-qubit Operation)

$\rightarrow$  controlled -  $U$

$$\begin{pmatrix} I & 0 \\ 0 & U \end{pmatrix} \in \mathbb{C}^{2^{n+1}} \times \mathbb{C}^{2^{n+1}}$$

$$I \text{ -- Identität } \in \mathbb{R}^{2^n} \times \mathbb{R}^{2^n}$$

Bem.: Toffoli gate kann NOT

realisieren Toffoli ( $|110\rangle$ ) =  $|111_2\rangle$   
fixt erste einbenbeige Qubits

$$\text{d.h. } A \text{ OR } B = \text{NOT}(\text{NOT } A \text{ AND } \text{NOT } B)$$

$\rightarrow$  jeder klass. circuit kann durch circuit von Toffolis implementiert werden

# Quanten Information

Wissen bisher:

.) 2 Zustände können nur mit Wahrsch. 1 unterschieden werden, wenn sie in orthogonalen UR liegen.

.) 3 mögliche Manipulationen für  $|A\rangle$

- (Ancilla) keine  $|A\rangle \rightsquigarrow$  kombinierte

$|A\rangle|A\rangle$

(erhöht dim. des Zustandsraums)

- (Unitäre Op.)  $U|A\rangle$

- (Messung)  $|A\rangle \rightsquigarrow$  kollabiert zu  $|j\rangle$

Q: Wie kann Information kopiert / gespeichert werden?

A: „No cloning theorem“ -> starke Limitierung  
in Quantentheorie:

Zustände können nicht kopiert werden

Setting: Zustandsraum  $H$  für

- 2 Quantensysteme

A (enth.  $|1\rangle$  der kopiert werden soll)

B (enth.  $|0\rangle$ , Ziel der Kopie)

- 1 qv. System

M („Kopierer“, Zustand  $|M_0\rangle$ )

Ziel: Operation

$$|1\rangle_A |0\rangle_B |M_0\rangle_M \rightarrow |1\rangle_A |1\rangle_B |M_1\rangle_M$$

die für alle Zustände in A funktioniert.

---

Theorem Sei  $S \subseteq H$  so dass  $S$  zumindest ein paar versch., nicht-orthogonale Zustände enthält

$\Rightarrow \exists$  unit. Op.  $U$  auf  $S$ , die alle Zustände kopieren kann

Beweis Seien  $|S\rangle, |n\rangle \in S$  nicht-orth.

$$\leadsto \text{will } \langle \cup |S\rangle_A |0\rangle_B |M_0\rangle_M = \langle S\rangle_A \langle 0\rangle_B |M_S\rangle_M$$

$$\langle \cup |n\rangle_A |0\rangle_B |M_0\rangle_M = \langle n\rangle_A \langle n\rangle_B |M_n\rangle_M$$

$\cup$  uniklar  $\Rightarrow$  erhält Skalarprod.

$$\begin{aligned} \left\langle \underset{\parallel}{|S\rangle} \underset{\parallel}{|S\rangle} |M_S\rangle, \underset{\parallel}{|n\rangle} \underset{\parallel}{|n\rangle} |M_n\rangle \right\rangle &= \left\langle \underset{\parallel}{(S\rangle} |0\rangle |M_0\rangle, \underset{\parallel}{|n\rangle} |0\rangle |M_0\rangle \right\rangle \\ \langle S|n\rangle \langle S|n\rangle \langle M_S|M_n\rangle &\quad \langle S|n\rangle \underbrace{\langle 0|0\rangle}_{1 \cdot 1=1} \underbrace{\langle M_0|M_0\rangle}_{1 \cdot 1=1} \end{aligned}$$

$$\Rightarrow |\langle S|n\rangle|^2 |\langle M_S|M_n\rangle| = |\cancel{\langle S|n\rangle}|$$

(kürzen der  $|\langle S|n\rangle| \neq 0$  wegen nicht-orth.)

Gauß-Schwarz (Vgl.):

$$|\langle M_S|M_n\rangle| \leq \underbrace{|\langle M_S|M_S\rangle|}_{=1} \underbrace{|\langle M_n|M_n\rangle|}_{=1}$$

$$\Rightarrow |\langle S|n\rangle| = 1$$

$\Rightarrow S = e^{i\phi} n$  kann nicht für alle Zustände stimmen  $\square$

Zeitumkehr : no deleting theorem

Unit. Op sat.

$$U : | \psi \rangle_A | \psi \rangle_B | M \rangle_M \rightarrow | \psi \rangle_A | O \rangle_B | M \psi \rangle_M$$

---

Lösung für Informationstransfer : Verschränkung

Bsp : Quanten Teleportation

Setting : ) Alice  $\rightarrow$  qubit  $\alpha_0|0\rangle + \alpha_1|1\rangle =: |\alpha\rangle$

. ) Bob  $\rightarrow$  weit entfernt, will Information von Alice qubit haben

. ) A+B haben noch ein weiteres verschärktes qubit

$$\frac{1}{\sqrt{2}} (|00\rangle + |11\rangle)$$

$\downarrow$        $\downarrow$        $\downarrow$        $\downarrow$   
Alice    Bob    Alice    Bob

(?) Wie bekommt Bob die Information  
ohne physischen Transfer von Alice qubit?

## Teleportation:

(i) 3 qubits im Spiel

1-qubit ( $\alpha$ )	1-qubit Alice Teil von versch. Qubit
2-qubit ( $\beta$ )	3-qubit Bobs Teil von versch. qubit

kompl. System:

$$(\alpha_0|0\rangle + \alpha_1|1\rangle) \otimes \frac{1}{\sqrt{2}}(|00\rangle + |11\rangle)$$

(ii) Alice CNOT auf 1., 2. qubit

(iii) Alice Hadamard gate auf 1. qubit

$$\Rightarrow \text{CNOT: } \frac{\alpha_0}{\sqrt{2}}|10\rangle(|00\rangle + |11\rangle) + \frac{\alpha_1}{\sqrt{2}}|1\rangle(|01\rangle + |11\rangle)$$

$$\begin{aligned} \text{Hadam.: } & \frac{1}{2}\alpha_0(|10\rangle + |11\rangle)(|10\rangle + |11\rangle) + \\ & \frac{1}{2}\alpha_1(|10\rangle - |11\rangle)(|11\rangle + |01\rangle) \end{aligned}$$

$$\begin{aligned}
 &= \frac{1}{2} |00\rangle (\alpha_0|0\rangle + \alpha_1|1\rangle) + \\
 &\quad \frac{1}{2} |01\rangle (\alpha_0|1\rangle + \alpha_1|0\rangle) + \\
 &\quad \frac{1}{2} |10\rangle (\alpha_0|0\rangle - \alpha_1|1\rangle) + \\
 &\quad \frac{1}{2} |11\rangle (\alpha_0|1\rangle - \alpha_1|0\rangle)
 \end{aligned}$$

Alice qubits

(iv) Alice misst beide qubits  
 $\Rightarrow$  4 mögliche Zustände mit  $P = \frac{1}{4}$

Ergebnis:

Messung	Zustand nach Messung	
00	$ 00\rangle  2\rangle$	
01	$ 01\rangle X 2\rangle$	bitflip
10	$ 10\rangle Z 2\rangle$	phaseflip
11	$ 11\rangle XZ 2\rangle$	bit+phaseflip

(v) Alice sendet Messergebnis auf klass. Kanal zu Bob z.B. 10

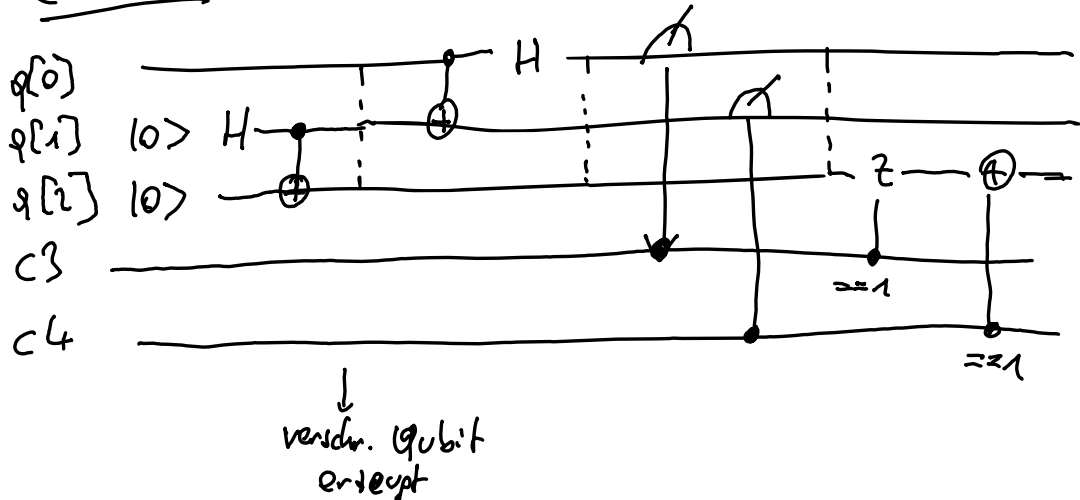
(vi) Bob sieht in obiger Tabelle nach und wendet die zugeh. Inverse transf. auf sein Qubit an für  $10 \rightsquigarrow Z$

$\Rightarrow$  Sein Qubit ist garantiert im Zustand b)

□

- 
- Bem.:
- .) nicht-lokale Verbindungs: physik. Prozesse im Ort zw. A/B beeinflussen nichts!
  - .) nur Information transportiert, keine Materie  $\rightarrow$  kein Schröd. Beamen!
  - .) Alice misst ihre Qubits  $\rightarrow$  danach Superposition weg!

# Circuit



$c3, c4$  klass. Zust.

# Quantum Gates

How to implement a  $X \text{OR } b$ ?

$a \backslash b$	0	1
0	0	1
1	1	0

but  $(a, b) \mapsto a \text{ XOR } b$  not unitary

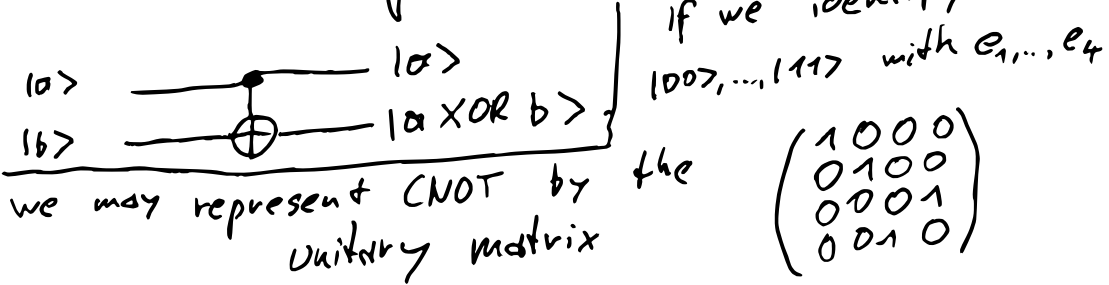
hence  $(a, b) \mapsto (a, a \text{ XOR } b)$

$(a, b)$	$ 100\rangle$	$ 101\rangle$	$ 110\rangle$	$ 111\rangle$
$(a, a \text{ XOR } b)$	$ 100\rangle$	$ 101\rangle$	$ 111\rangle$	$ 110\rangle$

is permutation  $\Rightarrow$  unitary

This operation is called "Controlled Not", "CNOT"

In circuit diagrams, this is denoted by



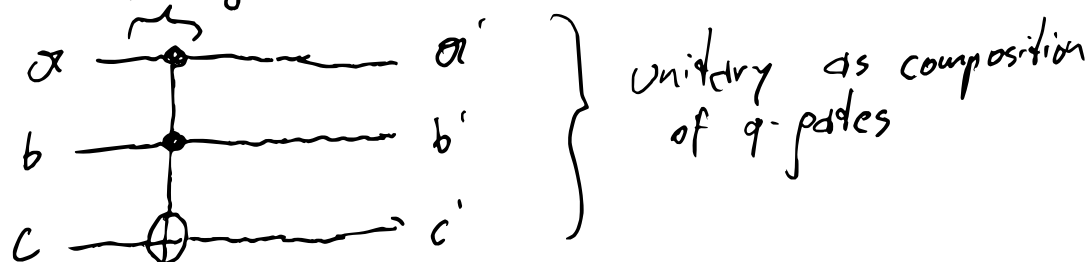
# What about „AND“?

$a \text{ AND } b \Leftrightarrow$

$a \backslash b$	0	1
0	0	0
1	0	1

- $(a, b) \mapsto (a, a \text{ AND } b)$  not bijective
- requires three qubits  $|a, b, c\rangle \mapsto |a, b, c \text{ XOR } (a \text{ AND } b)\rangle$

Toffoli gate



$ abc\rangle$	000	001	010	011	100	101	110	111
	000	001	010	011	100	101	111	110

if Input  $c = |0\rangle \Rightarrow$  Output  $c' = |a, b, a \text{ AND } b\rangle$

- extra qbit  $|c\rangle$  is called „ancilla“ qbit  
ancilla = Diener

# Deutsch-Jozsa Algorithm

- "Problem": Given  $\overline{f}(x_1, \dots, x_n) \in \{0, 1\}$   $x_i \in \{0, 1\}$
- "determine if
    - $\overline{f} = 0$
    - $\overline{f} = 1$
    - $\overline{f}$  is unbalanced; i.e., exactly half of  $(x_1, \dots, x_n)$  lead to  $\overline{f}(x_1, \dots, x_n) = 1$

- We assume the  $\overline{f}$  satisfies one of the three options
- Not useful in practice, but demonstrates that hard problems can be easier on quantum computers

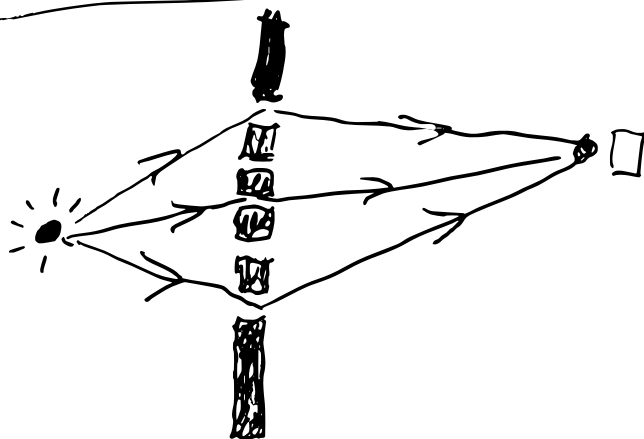
## Classical algorithm:

To exclude the "balanced" case, we need to check at least  $2^{n-1} + 1$  inputs

$$(x_1, \dots, x_n) \in \{0, 1\}^n$$

$\Rightarrow$  Problem size  $N = 2^n$ , Runtime  $N/2 + 1$

## Physical inspiration



Intensity at detector is determined by "phase" difference of light-paths  
 $\rightarrow$  interference

Number the holes with }  
 $x \in \{0, 1, 3\}$  } 2 " holes

Assume the holes' are located such that the light amplitude is  $\approx (-1)^{F(y)}$  at detector if light travels through hole  $y$ .

Light intensity at detector is given by

$$\approx \sum_{y \in \{0, 1, 3\}} (-1)^{F(y)} = 0 \text{ if } F \text{ is balanced}$$

$= \pm 1$  if  $F$  is const

## Quantum Algorithm

We may identify  $(x_1, \dots, x_n) \in \{0,1\}^n$  with the basis element  $|i\rangle$ , where  $i = x_1 + x_2 2 + x_3 4 + \dots + x_n 2^{n-1}$ . In this sense, define  $\overline{f}(|i\rangle) := |\overline{f}(x_1, \dots, x_n)\rangle$

An essential part of this (and many other algorithms) is the "Query":

Given 1-qbit state  $|b\rangle$  and  $\overline{f}(x_1, \dots, x_n) \in \{0,1\}$ , define

$$Q_{\overline{f}}(|i\rangle \otimes |b\rangle) = |i\rangle \otimes (|b\rangle \oplus \overline{f}(|i\rangle))$$

Particularly for  $|b\rangle = |-\rangle := \frac{1}{\sqrt{2}}(|0\rangle - |1\rangle)$ ,

we have

$$\begin{aligned} Q_{\overline{f}}(|i\rangle \otimes |-\rangle) &= |i\rangle \otimes \frac{1}{\sqrt{2}} [\overline{f}(|i\rangle) - |1\rangle \oplus \overline{f}(|i\rangle)] \\ &= \begin{cases} |i\rangle \otimes \frac{1}{\sqrt{2}}[|0\rangle - |1\rangle] & \overline{f}(|i\rangle) = |0\rangle \\ |i\rangle \otimes \frac{1}{\sqrt{2}}[|1\rangle - |0\rangle] & \overline{f}(|i\rangle) = |1\rangle \end{cases} \\ &= \underbrace{(-1)^{\overline{f}(|i\rangle)}}_{\overline{f}(|i\rangle)} |i\rangle \end{aligned}$$

Note that we identify  $\overline{f}(|i\rangle)$  with  $\overline{f}(x_1, \dots, x_n)$  instead of  $|\overline{f}(x_1, \dots, x_n)\rangle$ , i.e., the last equality only makes sense for basis element  $|i\rangle$ .

Note that  $Q_F$  is unitary since

$$|b\rangle \mapsto (|b\rangle \oplus F(|a\rangle))$$

is permutation for any value of  $F(a)$

We make extensive use of the Hadamard gate  $\boxed{H}$  given by  $\frac{1}{\sqrt{2}} \begin{pmatrix} 1 & 1 \\ 1 & -1 \end{pmatrix}$

we already know:

$$H|0\rangle = \frac{1}{\sqrt{2}}(|0\rangle + |1\rangle)$$

$$H|1\rangle = \frac{1}{\sqrt{2}}(|0\rangle - |1\rangle)$$

Lemma 1. There holds

$$\begin{aligned} H^{\otimes n}|0^n\rangle &:= \bigotimes_{i=1}^n H|0\rangle = \bigotimes_{i=1}^n \frac{1}{\sqrt{2}}(|0\rangle + |1\rangle) \\ &= \sum_{\substack{(x_1, \dots, x_n) \\ \in \{0,1\}^n}} \frac{1}{\sqrt{2^n}} |x_1 \dots x_n\rangle = \frac{1}{\sqrt{N}} \sum_{i=0}^{2^n-1} |i\rangle \end{aligned}$$

as well as for  $i = x_1 + 2x_2 + \dots + 2^{n-1}x_n$

$$\begin{aligned} H^{\otimes n}|i\rangle &:= \bigotimes_{i=1}^n H|x_i\rangle = \bigotimes_{i=1}^n \frac{1}{\sqrt{2}}(|0\rangle + (-1)^{x_i}|1\rangle) \\ &= \sum_{\substack{(y_1 \dots y_n) \\ \in \{0,1\}^n}} \frac{1}{\sqrt{N}} (-1)^{x \cdot y} |y_1 \dots y_n\rangle \\ &= \frac{1}{\sqrt{N}} \sum_{j=0}^{2^n-1} (-1)^{i \cdot j} |j\rangle, \quad \text{where} \end{aligned}$$

$$i \cdot j := x \cdot y := \sum_{k=1}^n x_k y_k .$$

The Algorithm reads:

1) Initial state  $|0^n\rangle := \underbrace{|0\rangle \otimes \dots \otimes |0\rangle}_{n\text{-times}}$

2) Apply  $\boxed{H}$  to each qbit to obtain

uniform state  $\frac{1}{\sqrt{N}} \sum_{i=0}^{2^n-1} |i\rangle$

3) Tensorize result with  $|-\rangle \Rightarrow \frac{1}{\sqrt{N}} \sum |i-\rangle$

3) Apply query  $\boxed{Q_F}$  with  $|b\rangle = |-\rangle$

to obtain  $\frac{1}{\sqrt{N}} \sum_{i=0}^{2^n-1} (-1)^{F(|i\rangle)} |i-\rangle$

4) Ignore last qbit  $|-\rangle$  and apply  $\boxed{H}$   
to remaining state to obtain (Lemma 1)

$$\frac{1}{N} \sum_{i=0}^{2^n-1} \sum_{j=0}^{2^n-1} (-1)^{ij} (-1)^{F(|i\rangle)} |ij\rangle$$

5) The amplitude of the  $j=0 \Leftrightarrow |0^n\rangle$ -state

$$is \quad \frac{1}{N} \sum_{i=0}^{2^n-1} \underbrace{(-1)^{i \cdot 0}}_{=1} (-1)^{F(|i\rangle)}$$

- If  $\bar{F}$  is balanced  $\Rightarrow$

$$\frac{1}{N} \sum_{i=0}^{2^n-1} (-1)^{\bar{F}(1i)} = 0$$

$$\cdot \text{If } \bar{F}=1 \Rightarrow \frac{1}{N} \sum_{i=0}^{2^n-1} (-1)^{\bar{F}(1i)} = -1$$

$$\cdot \text{If } \bar{F}=0 \Rightarrow \frac{1}{N} \sum_{i=0}^{2^n-1} (-1)^{\bar{F}(1i)} = 1$$


---

Complexity of Quantum Alp:

$O(1)$  steps,  $O(\log_2(N))$  quantum gates

$O(\log(N))$  qubits  $\Rightarrow$  exponential speedup

---

Example for  $\bar{F}$ :

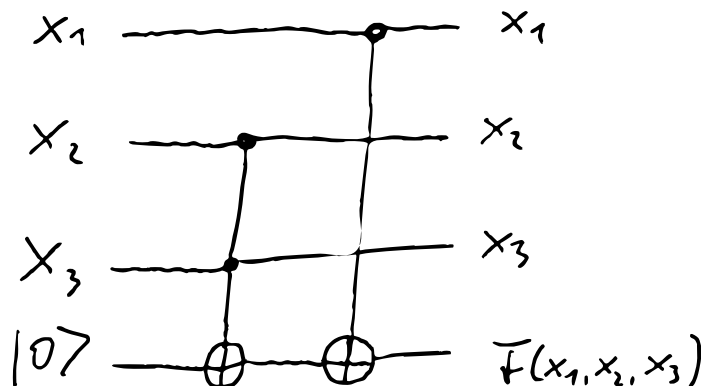
$$\cdot \bar{F}(x_1, x_2, x_3) = \text{mod}(x_1 + x_2 x_3, 2)$$

$\Rightarrow \bar{F}$  is balanced since

$$\bar{F}(0, x_2, x_3) = 1 - \bar{F}(1, x_2, x_3)$$

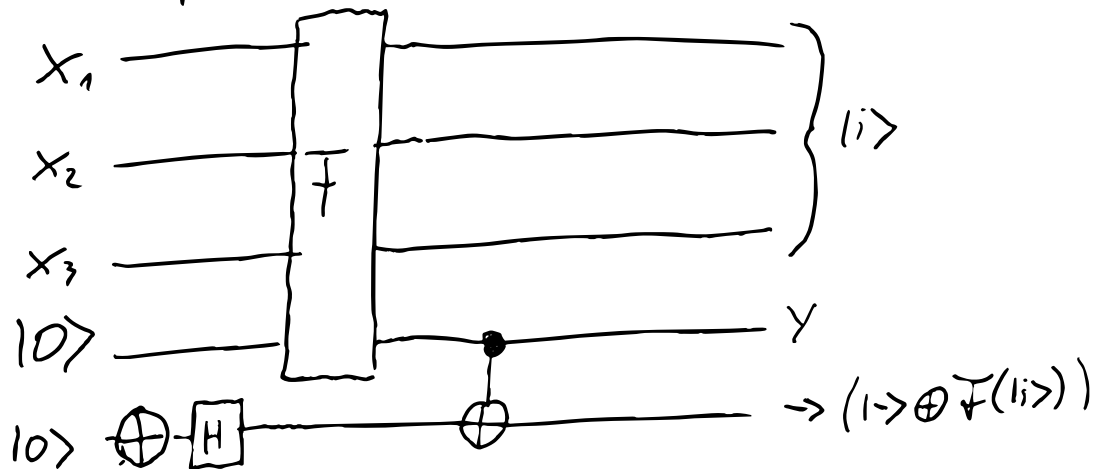
For the algorithm to work,  $\bar{F}$  needs to be a quantum circuit, i.e.

$$F(x_1, x_2, x_3) = x_1 \text{ XOR } (x_2 \text{ AND } x_3)$$

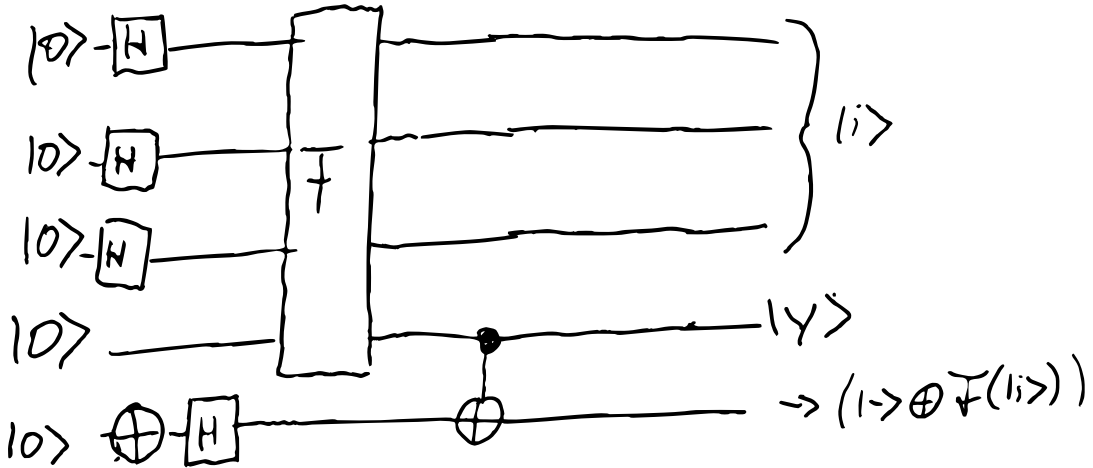


ancilla qbit

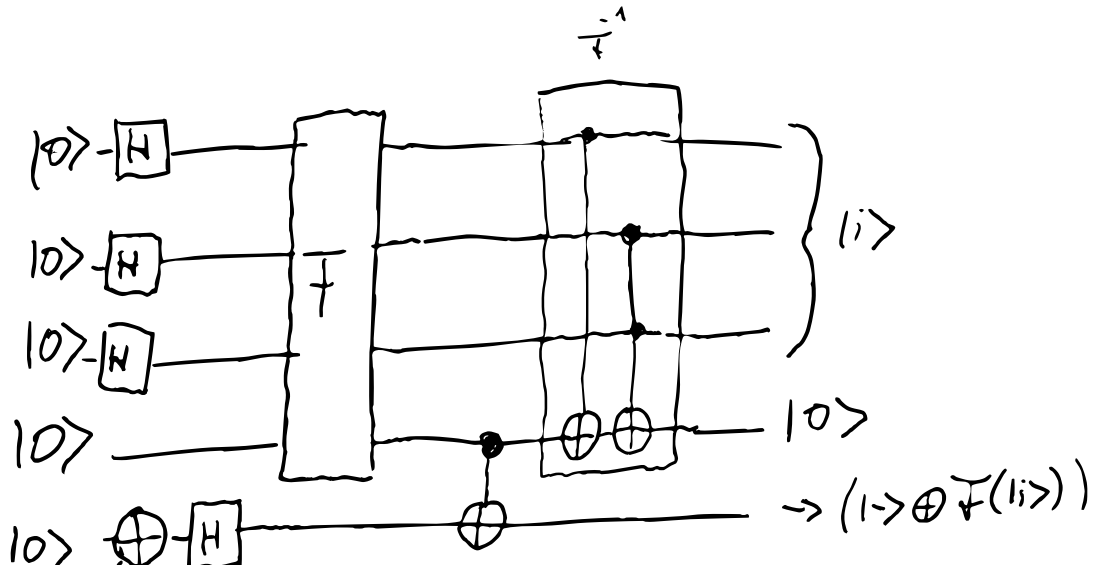
Next, implement Query  $Q_{\bar{F}}(|i\rangle) = |i\rangle \otimes (\bar{i} \rightarrow \oplus \bar{F}(|i\rangle))$



Apply Steps 1-3 of ALP

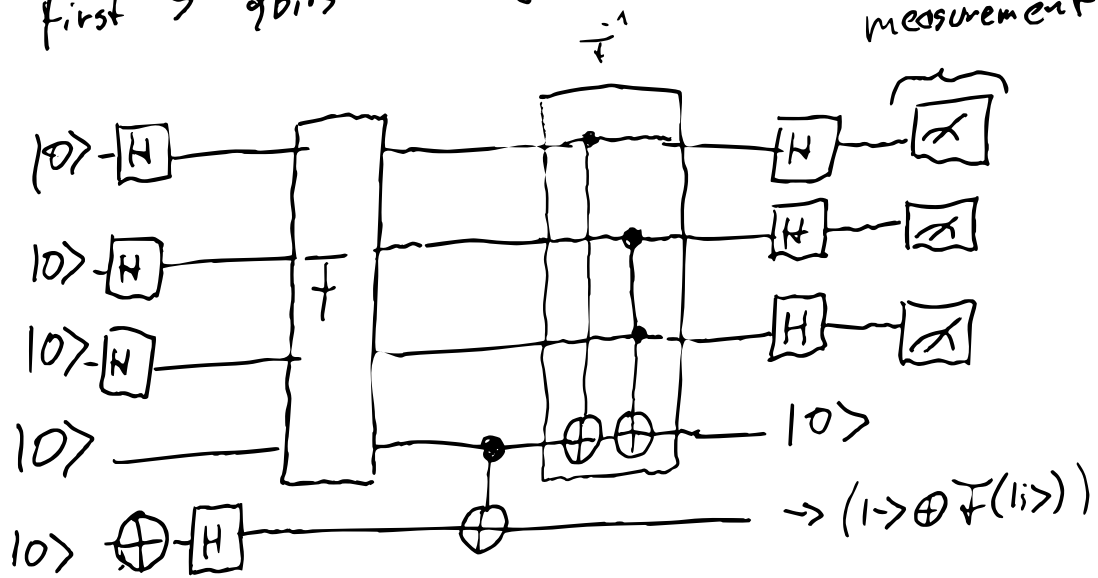


Problem:  $|y\rangle$  and  $|i\rangle$  are entangled  
 Solution: reverse  $F$  such that  $|y\rangle = |0\rangle$



Now, we have the desired state  
 $|i\rangle \otimes (| -> \otimes F(|i>))(|0>)$

Apply step 4 of Algo and measure the first 3 qubits



The measurement must contain the projection onto  $|000\rangle \otimes \text{span}\{|0>, |1>\}$

Note that this is not the most efficient implementation of  $Q_F$



at this point  
we have  $(-1)^{x_1} |x>$

$$\boxed{Z} = \begin{pmatrix} 1 & 0 \\ 0 & -1 \end{pmatrix}$$

controlled Z-gate:  
Z-gate only active if  $x_2 = 1$   
 $\Rightarrow (-1)^{x_2 x_3} |x>$

# Remarks on Deutsch-Josza:

- First algorithm with exponential speedup over classical computer
- However, consider the following randomized classical algorithm  $R(\bar{f})$ :
  - 1) generate two random  $x, y \in \{0,1\}^n$
  - 2) Evaluate  $\bar{f}(x), \bar{f}(y)$
  - 3) Output:  $R(\bar{f}) = 1$  if  $\bar{f}(x) = \bar{f}(y) = 1$   
 $R(\bar{f}) = 0$  if  $\bar{f}(x) = \bar{f}(y) = 0$   
 $R(\bar{f})_{\text{tolerant}}$  if  $\bar{f}(x) \neq \bar{f}(y)$
- The algorithm is correct if  $\bar{f}$  is constant and answers correctly with prob.  $\frac{1}{2}$  if  $\bar{f}$  is balanced.
- Apply the alg.  $k$ -times with i.i.d random samples to get  $(R_1(\bar{f}), \dots, R_k(\bar{f}))$ . Return  
 $1 \quad \text{if } R_1(\bar{f}) = \dots = R_k(\bar{f}) = 1$   
 $0 \quad \text{if } R_1(\bar{f}) = \dots = R_k(\bar{f}) = 0$   
 $"\text{balanced}" \quad \text{else}$   
 $\Rightarrow \text{Probability of error } 2^{-k}, \text{ cost } O(k)$

Remark: Why do you have to uncompute  $\tilde{F}$  in order to remove entanglement?

After Step 3, we have

$$\frac{1}{\sqrt{N}} \sum_{i=0}^{2^n-1} (-1)^{\tilde{F}(1i>)} |i>$$

but in implementation, we actually have

$$\frac{1}{\sqrt{N}} \sum_{i=0}^{2^n-1} (-1)^{\tilde{F}(1i>)} |i> \otimes |0_i> \otimes |>$$

for some ancilla qbit  $|0_i>$ . We may ignore last qbit since not entangled.

Step 4 applies  $H^{\otimes n}$  to obtain

$$\frac{1}{N} \sum_{i=0}^{N-1} \sum_{j=0}^{N-1} (-1)^{\tilde{F}(1i>)} (-1)^{i,j} |j> \otimes |0_i>$$

$\Rightarrow$  Amplitude of  $|j> = |0> \Rightarrow$

$$\frac{1}{N} \sum_{i=0}^{N-1} (-1)^{\tilde{F}(1i>)}$$

Mixed to non-zero even for balanced  $\tilde{F}$

## Simon's algorithm

First quantum alg. with exp speedup over  
any (randomized) classical alg.

Given  $i, j \in \{0, 1\}^n$ , define  $i \oplus j := (i_1 \oplus j_1, \dots, i_n \oplus j_n)$

Simon's problem: Let  $\bar{F} : \{0, 1\}^n \rightarrow \{0, 1\}^n$  s.t.

there exists  $s \in \{0, 1\}^n$

$$\bar{F}(x) = \bar{F}(y) \iff x = y \text{ or } x \oplus s = y$$

(goal: Find  $s$ .)

## Quantum Algorithm

1) Start with  $|0^n\rangle$  and apply  $\boxed{H}$  to

the first  $n$  qubits to obtain

$$\frac{1}{\sqrt{N}} \sum_{i=0}^{2^n-1} |i\rangle |0^n\rangle$$

2) Apply the query  $|i\rangle \otimes |b^n\rangle \mapsto |i\rangle \otimes (|b\rangle \oplus \bar{F}(i))$   
with  $|b^n\rangle = |0^n\rangle$  to obtain

$$\frac{1}{\sqrt{N}} \sum_{i=0}^{2^n-1} |i\rangle |\bar{F}(i)\rangle$$

3) Measure the second  $n$  qubits in computational basis, i.e.  $\text{span}\{|i\rangle, i=0, \dots, 2^n-1\} \otimes \text{span}\{|j\rangle, j=0, \dots, 2^n-1\}$  to

obtain some output

$$|a\rangle \otimes |j\rangle = \frac{\sum_j \left( \frac{1}{\sqrt{n}} \sum_i |i\rangle F(i,j) \right)}{\|\sum_j P_j(\dots)\|}$$

Note that

$$|i\rangle F(i,j) \perp \text{ran } P_j \text{ for } F(i,j) \neq |j\rangle$$

by assumption, there exist exactly two inputs  
 $|i_0\rangle$  and  $|i_k\rangle = |i_0 \oplus s\rangle$  with  $F(i_k, j) = |j\rangle$   $k=0,1$ .

Hence  $|a\rangle = \frac{1}{\sqrt{2}} (|i_0\rangle + |i_0 \oplus s\rangle)$

4) Ignore second  $n$  qubits and apply  $\boxed{H}$   
to the first  $n$  to obtain

$$\frac{1}{\sqrt{2^n}} \sum_{j=0}^{2^n-1} \left[ (-1)^{b \cdot j} + (-1)^{(i_0 \oplus s) \cdot j} \right] |j\rangle$$

5) Measure in computational basis

- $|j\rangle$  has non-zero amplitude if

$$(i_0 \oplus s) \cdot j \equiv i_0 \cdot j \iff s \cdot j \equiv 0 \pmod{2}$$

$\Rightarrow$  We obtain random element of the set

$$\{ j \mid s \cdot j \equiv 0 \pmod{2} \}$$

6) Repeat the procedure to obtain  
 $n-1$  linearly ind. elements  $j^{(1)}, \dots, j^{(n-1)}$  with  
 $j^{(i)} \cdot s = 0 \pmod{2}$

or

$$\begin{pmatrix} j^{(1)} \\ \vdots \\ j^{(n-1)} \end{pmatrix} s = 0 \pmod{2}$$

7) Solve linear system mod 2 on  
 classical computer in  $O(n^3)$

Note that #spans  $\{j^{(1)}, \dots, j^{(k)}\} \leq 2^k$

Hence, with probability  $\frac{2^n - 2^k}{2^n} = 1 - 2^{k-n} \geq \frac{1}{2}$   
 for  $k \leq n-1$ , we find

• Linearly independent vector  $j_{k+1}$

Conclusion: number of qubits  $O(n)$ ,  
 number of gates  $O(n)$ , number of iterations  
 $O(n)$  with high probability +  $O(n^3)$

## Classical algorithms for Simon's problem:

Lemma 2 Any randomized classical algorithm with less than  $\delta 2^{\frac{n}{2}}$  queries to  $\tilde{f}$  fails with probability  $\geq e^{-\frac{5}{4}\delta^2}$ . (deterministic alg. fail certainly if less than  $2^{\frac{n}{2}}$  queries).

Proof Every alg generates a sequence of queries  $x_1, \dots, x_n$  with  $\tilde{f}(x_1), \dots, \tilde{f}(x_n)$ . If all  $y_i$  are distinct, the alg can't distinguish between  $s=0$  and  $s \neq 0$ .

Assume all  $y_1, \dots, y_k$  are distinct. Then the alg chooses  $x_{k+1}$  based on some prob. measure  $\mu$  on  $\{0,1\}^n$  [in the def. case,  $\mu$  is a delta distribution].

$$\sum_{k=1}^c \sum_{s \in \{0,1\}^n} \sum_{i=1}^k \mu(x_i \oplus s) = \sum_{k=1}^c \underbrace{\sum_{i=1}^k}_{s} \underbrace{\sum_{i=1}^k \mu(x_i \oplus s)}_{=1}$$

$$\Rightarrow \exists s \in \{0,1\}^n: \sum_{k=1}^c \underbrace{\sum_{i=1}^k \mu(x_i \oplus s)}_{p_i} \leq \frac{c(c+1)}{2^{n+1}} \leq \frac{1}{2} \quad \text{for } c(c+1) \leq 2^n$$

Hence,

$$\begin{aligned} \overline{P}(y_1, \dots, y_{k+1} \text{ distinct}) &= \underbrace{\overline{P}(y_{k+1} \notin \{y_1, \dots, y_k\} | y_1, \dots, y_k \text{ distinct})}_{\cdot \overline{P}(y_1, \dots, y_k \text{ distinct})} \\ &\geq 1 - p_i \end{aligned}$$

Iterate the argument to obtain

$$P(\gamma_1, \dots, \gamma_c \text{ distinct}) \geq \prod_{i=1}^c (1-p_i)$$

Taking logarithms shows

$$\log\left(\prod_{i=1}^c (1-p_i)\right) = \sum_{i=1}^c \log(1-p_i)$$

$$\left(p_i \leq \frac{1}{2}\right) \rightarrow \geq -\frac{5}{4} \sum_{i=1}^c p_i \geq -\frac{5}{4} \frac{c(c+1)}{2^{n+1}}$$

$$\Rightarrow P(\gamma_1, \dots, \gamma_c \text{ distinct}) \geq e^{-\frac{5}{4} \frac{c(c+1)}{2^{n+1}}}$$

Choosing  $c+1 = 5 \cdot 2^{\frac{n}{2}}$  satisfies  $c(c+1) \leq 2^n$

and  $P(\gamma_1, \dots, \gamma_c \text{ distinct}) \geq e^{-\frac{5}{4} \delta^2}$

□

$$\begin{aligned} \log(1-p) &= 0 + \frac{1}{1}(-p) - \frac{1}{2} \frac{(-p)^2}{2} \text{ for some } \\ &\geq -p - \frac{p^2}{2} = -p\left(1 + \frac{p}{2}\right) \quad 1-p \leq p \\ &\geq -\frac{5}{4}p \end{aligned}$$

# The quantum Fourier Transform

Discrete FT: For  $x_0, \dots, x_{N-1}$  define

$$\hat{X}_k := \frac{1}{\sqrt{N}} \sum_{j=0}^{N-1} x_j e^{-\frac{2\pi i}{N} k j}$$

$$X_k = \frac{1}{\sqrt{N}} \sum_{j=0}^{N-1} \hat{X}_j e^{\frac{2\pi i}{N} k j}$$

in matrix notation

$$\hat{X} = F_N X \quad \text{with} \quad F_N \in \mathbb{C}^{N \times N}$$

$$(F_N)_{kj} := \frac{1}{\sqrt{N}} e^{-\frac{2\pi i}{N} k j}$$

$F_N$  is unitary matrix ✓

Fast FT: Assume  $N = 2^n$

$$\hat{X}_k = \frac{1}{\sqrt{2}} \left( \frac{1}{\sqrt{N/2}} \sum_{j=0}^{N-1} x_j e^{-\frac{2\pi i}{N/2} k \frac{j}{2}} \right.$$

$$\left. + e^{-\frac{2\pi i}{N} k \frac{1}{2}} \sum_{j \text{ even}} e^{-\frac{2\pi i}{N/2} k \frac{j+1}{2}} \right)$$

⇒ split FT into 2 FTs of half size

leads to  $O(N \log N)$  complexity.

The QFT maps a state

$$|x\rangle = \sum_{j=0}^{N-1} \hat{x}_j |j\rangle \text{ to } |y\rangle = \sum_{j=0}^{N-1} x_j |j\rangle$$

where  $x_j$  is given by the classical FFT

If  $|x\rangle = |j_0\rangle$ , then  $x_j = \delta_{jj_0}$  and hence

$$\hat{x}_k = \frac{1}{\sqrt{N}} e^{\frac{2\pi i k j_0}{N}}$$

$$\Rightarrow |j\rangle \xrightarrow{\text{QFT}} \frac{1}{\sqrt{N}} \sum_{k=0}^{N-1} e^{\frac{2\pi i k j}{N}} |k\rangle$$
$$= \overline{f}_N |j\rangle$$

This is a convention.  
Everything works with FT

To implement  $\overline{f}_N$  efficiently, we observe

$$\frac{k}{N} = \frac{k}{2^n} = \sum_{e=1}^n k_e \tilde{2}^e \quad \text{if } k = k_1 2^{n-1} + k_2 2^{n-2} + \dots + k_n$$

$$\overline{f}_N |j\rangle = \frac{1}{2^n} \sum_{k \in \{0,1\}^n} e^{2\pi i j \sum_{e=1}^n k_e 2^e} |k_1 \dots k_n\rangle$$
$$= \bigotimes_{e=1}^n e^{-2\pi i j k_e 2^e} |k_e\rangle$$

$$= \bigotimes_{e=1}^n \left( |0\rangle + e^{2\pi i j / 2^e} |1\rangle \right) \frac{1}{\sqrt{2}}$$

Furthermore note that

$$e^{2\pi i j / 2^e} = e^{2\pi i \sum_{m=1}^{n-e} j_m 2^{n-m-e}} = e^{\sum_{m=n-e+1}^n j_m 2^{n-m-e}}$$

$\in \mathbb{N}$

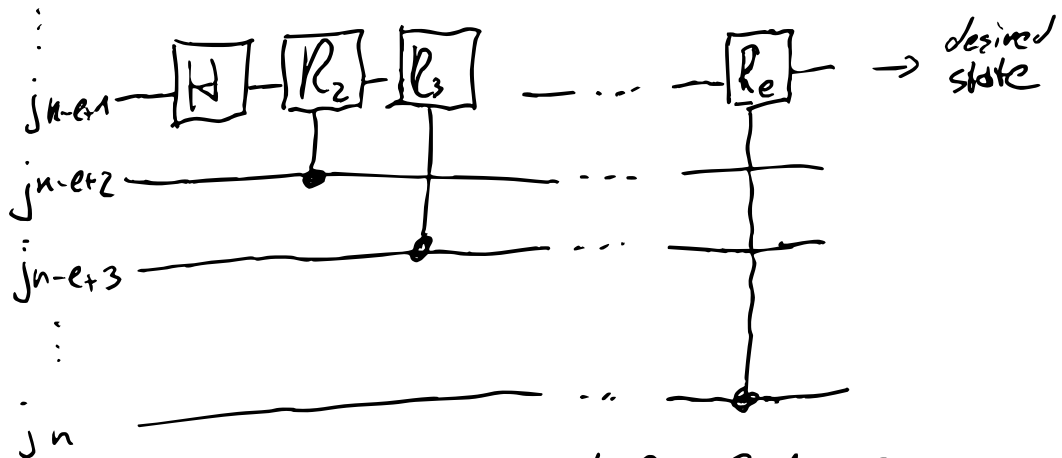
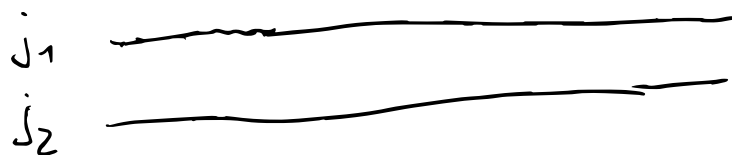
$\Rightarrow$  the first  $n-e$  significant bits of  $j$  do not matter.

---

To implement

$$\frac{1}{2^e} (|0\rangle + e^{2\pi i \sum_{m=n-e+1}^n j_m 2^{n-m-e}} |1\rangle)$$

we use the  $[R_s]$  gate given by the matrix  $\begin{pmatrix} 1 & 0 \\ 0 & e^{2\pi i / 2^e} \end{pmatrix}$  or  $[P]$  in IBM q-Composer



need to repeat that for  $e=1, \dots, n$

Cost of QFT:

We need  $n$  qubits and  $O(n)$  gates per qubit

$\Rightarrow O(n^2)$  gates

$\Rightarrow$  exponential speedup over FFT with  $O(n 2^n)$  operations.

Remark Strictly speaking, QFT does something different than FT. The state

$$QFT(|x\rangle) = \sum_{j=0}^{N-1} x_j |j\rangle$$

can only be accessed via measurement and hence will collapse to some  $|j'\rangle$  with a certain probability. We will see that this is still very useful.

Remark Rs gates don't do very much for large  $s$ . One can show that  $O(n \log n)$  gates suffice if one accepts a small error probability

Remark reversing the order of the  
passes and using the adjoint gates  
gives an efficient implementation of  
the inverse QFT  $F_N^{-1}$

## Application Phase estimation

Suppose we have unitary operator  $U: V \rightarrow V$   
 $\dim V = 2^n$   
 with eigenvector  $\psi$

$$\Rightarrow U\psi = e^{2\pi i \phi} \psi \quad \text{for some } \phi \in [0, 1)$$

$$( |U\psi|^2 = |\lambda|^2 |\psi|^2 = |\psi|^2 \Rightarrow |\lambda| = 1 )$$

Assume that  $\phi = \sum_{j=1}^n \phi_j 2^{-j}$  can be  
 written with  $n$  bits

Since  $U$  is operator on  $2^n$ -dim Hilbert space  
 classical computation of  $U\psi \cdot \psi$  costs  
 at least  $O(2^n)$

## Quantum algorithm

1) Start with  $|0^n\rangle |\psi\rangle$

2) Apply  $H^{\otimes n}$  to the first  $n$  qubits to obtain  
 $\frac{1}{\sqrt{N}} \sum_{j=0}^{2^n-1} |j\rangle |\psi\rangle$  (Applying QFT<sub>N</sub> would  
 do the same)

3) Apply  $|j\rangle |\psi\rangle \mapsto |j\rangle |U^j|\psi\rangle$  to obtain

$$\frac{1}{\sqrt{N}} \sum_{j=0}^{2^n-1} e^{2\pi i j \phi} |j\rangle |\psi\rangle$$

Note that the first  $n$  qubits satisfy

$$\frac{1}{\sqrt{N}} \sum_{j=0}^{N-1} e^{2\pi i j \phi} |j\rangle = \frac{1}{\sqrt{N}} \sum_j e^{2\pi i j \frac{N\phi}{N}} |j\rangle = F_N(|N\phi\rangle)$$

→ This might be a bit confusing since suddenly  $\phi \in \mathbb{R}$  is interpreted as an element of the vector space in which  $\psi$  is contained

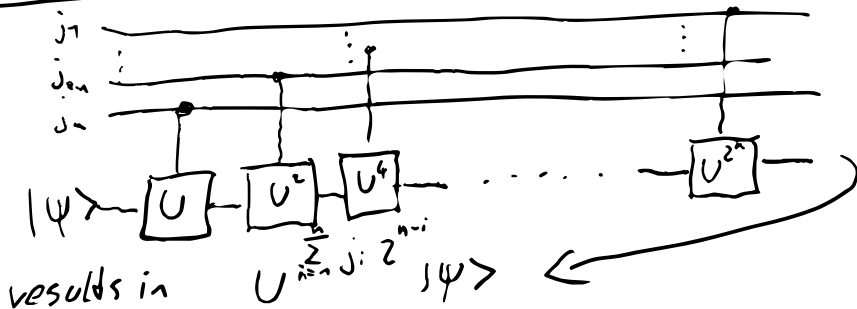
But  $N\phi = \sum_{j=1}^n \phi_j 2^{n-j}$  is a basis element and hence this makes sense

4) Apply IQFT to the first  $n$  qubits to obtain

$$F_N^{-1}\left(\frac{1}{\sqrt{N}} \sum_j e^{2\pi i j \phi} |j\rangle\right) = |N\phi\rangle$$

5) Measure in computational basis to obtain  $N\phi$  and hence  $\phi$

Remark How to implement step 3?



But we will need to assume that

$\boxed{U^{2^k}}$  can be implemented effectively  
 (This might not be true in general, but  
 is in the applications below)

---

Note the the input doesn't need to be a single eigenvector. Let  $|1\phi\rangle, |1\phi'\rangle$  denote two EVs with phase  $\phi, \phi'$ . Linearity implies that input  $\frac{1}{\sqrt{2}}(|1\phi\rangle + |1\phi'\rangle)$  produces output  $\frac{1}{\sqrt{2}}(|N\phi\rangle + |N\phi'\rangle)$

A measurement will produce  $\phi, \phi'$  with equal probability

---

if  $\phi$  requires more than  $n$  bits, the final state is a small perturbation of  $|N\phi\rangle$  with

$$|\delta| = \left| \frac{1}{\sqrt{N}} \sum_{j=0}^{N-1} \left[ e^{2\pi i j \phi} - e^{2\pi i j \hat{\phi}} \right] |1j\rangle \right| / \left| \frac{1}{\sqrt{N}} \sum_{j=0}^{N-1} e^{2\pi i j \phi} |1j\rangle \right| \simeq O(2^{-n})$$

## Shor's integer factorization

Factoring problem: given  $n \in \mathbb{N} \setminus \{\text{primes}\}$   
find  $1 < k < n$  with  $\frac{n}{k} \in \mathbb{N}$ .

- $n \in \mathbb{N}$  can be defined using  $\log_2(n)$  bits  $\Rightarrow$  Pdy. complexity of tps means  $O(\log_2(n)^P)$  operations
- There exist efficient algorithms to check whether  $n$  is prime (see, e.g. AKS-test or power of prime (or BPSW-test))
- Security of many crypto-systems is based on the fact that integer factorization is hard
- Best known classical algorithm is the general number field sieve with runtime  $O(e^{(\log n)^{\frac{1}{3}} (\log \log n)^{\frac{2}{3}}})$

Note that the routine is a conjecture!

- It is not known that classical algs can not be faster. Latest paper which (falsely) claimed an  $O(\log^p)$ -alg for factorization was by Schnorr (Pom) in 2021

## Reduction to period finding

Want to factor  $N \in \mathbb{N}$ .

1) Choose random  $x \in \{2, \dots, N-1\}$  with  $\gcd(x, N) = 1$

$\Rightarrow x \in (\mathbb{Z}/N\mathbb{Z})^\times$  multiplicative group  
 $\mod n$

(Lemma 3)  
 $\Rightarrow x$  has period  $r$  with  $x^r \mod N = 1$

$\Rightarrow$  with prob.  $\frac{1}{2}$   $r$  is even and

$$x^{\frac{r}{2}} \pm 1 \not\equiv 0 \mod N$$

$$\Rightarrow (x^{\frac{r}{2}} - 1)(x^{\frac{r}{2}} + 1) \equiv x^r - 1 \equiv 0 \mod N$$

$\Rightarrow \gcd(x^{\frac{r}{2}} - 1, N), \gcd(x^{\frac{r}{2}} + 1, N)$   
are non-trivial factors of  $N$

Lemma 3 Every  $x \in (\mathbb{Z}/N\mathbb{Z})^*$  has period  $v$  which is minimal with  $x^v \equiv 1 \pmod{N}$ .

Proof Consider the set  $S = \{1, x, \dots\} \subseteq (\mathbb{Z}/N\mathbb{Z})^*$ . Since  $(\mathbb{Z}/N\mathbb{Z})^*$  is finite, there exist  $j \neq k \in \mathbb{N}$  with  $x^j \equiv x^k \pmod{N}$ . W.L.O.G assume  $j < k$

$$\Rightarrow x^{k-j} \equiv 1 \pmod{N}.$$

□

Euler totient func:  $\varphi(n) := \#\{1 \leq k \leq n : \gcd(k, n) = 1\}$

$$\varphi(n) = n \prod_{p|n} \left(1 - \frac{1}{p}\right) \Rightarrow \varphi(p^\alpha) = p^\alpha \left(1 - \frac{1}{p}\right) = p^{\alpha-1}(p-1)$$

Lemma [Chinese remainder Thm]

Let  $m_1, \dots, m_n \in \mathbb{N}$  with  $\gcd(m_i, m_j) = 1$  if  $i \neq j$ . Then

$$\begin{bmatrix} \text{Find } \\ x \text{ s.t. } \\ \begin{array}{l} x \equiv a_1 \pmod{m_1} \\ \vdots \\ x \equiv a_n \pmod{m_n} \end{array} \end{bmatrix}$$

is solvable and any two solutions are equal mod  $M = m_1 m_2 \dots m_n$

Proof Define  $M := \frac{M}{m_i} \Rightarrow \gcd(M_i, m_i) = 1$

$\Rightarrow M_i$  has mult. inverse mod  $m_i$  denoted by  $N_i$

$\Rightarrow x = \sum_i a_i M_i N_i$  is solution since

$$M_i N_i \equiv 1 \pmod{m_i} \text{ and } M_i N_i \equiv 0 \pmod{m_j \text{ if } i \neq j}$$

Two solutions  $x, x'$  satisfy  $x - x' \equiv 0 \pmod{m_i}$

$\Rightarrow M = m_1 m_2 \dots m_n$  divides  $x - x'$  (since  $m_i$  are coprime)

□

Lemma 4 Let  $p > 2$  prime. Let  $2^d$  maximal power of 2 dividing  $\varphi(p^\alpha)$ . Let  $x$  denote randomly chosen element in  $(\frac{\mathbb{Z}}{p^\alpha \mathbb{Z}})^\times$ .

$$\Rightarrow P(2^d \text{ divides order of } x) = \frac{1}{2}$$

Proof:  $\varphi(p^\alpha) = p^{d-1}(p-1)$  is even  $\Rightarrow d \geq 1$ .

Let  $g$  denote generator of  $(\frac{\mathbb{Z}}{p^\alpha \mathbb{Z}})^\times \Rightarrow x = g^k \pmod{p^\alpha}$  for some  $k \in \{1, \dots, \varphi(p^\alpha)\}$ . Let  $r$  denote order of  $x$ .

1)  $k$  is odd:  $g^{kr} \equiv 1 \pmod{p^\alpha} \Rightarrow \varphi(p^\alpha)$  divides  $kr$   
 since  $k$  is odd  $\Rightarrow 2^d$  divides  $r$  since  $\varphi(p^\alpha)$  is minimal with  $g^{\varphi(p^\alpha)} = 1$

2)  $k$  is even:  $g^{k\varphi(p^\alpha)/2} \equiv 1 \pmod{p^\alpha}$   
 $\Rightarrow r$  divides  $\varphi(p^\alpha)/2$  since  $x^r = g^{kr} \equiv 1 \pmod{p^\alpha}$   
 r is minimal with

$\Rightarrow 2^d$  does not divide  $r$

Hence, for exactly half of  $x \in (\frac{\mathbb{Z}}{p^\alpha \mathbb{Z}})^\times$  we have  $x = g^k$  with  $k$  even/odd □

Lemma 5 Let  $N = p_1^{\alpha_1} \cdots p_m^{\alpha_m}$  prime factorization of odd  $N$ . Let  $x$  be random in  $\left(\frac{N}{\mathbb{Z}}\right)^*$  with order  $r \bmod N$ .

$$\Rightarrow P(r \text{ is even and } x^{\frac{r}{2}} \not\equiv -1 \bmod N) \geq 1 - 2^{-m+1}$$

Proof Chinese remainder theorem  $\Rightarrow$  choose  $x$  random is equivalent to choose  $x_j$  random in  $\left(\frac{N}{p_j^{\alpha_j}}\right)^*$  with  $x \equiv x_j \pmod{p_j^{\alpha_j}}$  if  $j=1, \dots, m$

If this is because  $x \leftrightarrow (x_1, \dots, x_m)$  is one-to-one

Let  $r_j$  be order  $x_j \pmod{p_j^{\alpha_j}}$  and let  $2^{d_j}$  max power of 2 dividing  $r_j$ .  $r$  is odd or  $x^{\frac{r}{2}} \not\equiv -1 \bmod N \Rightarrow$   
We will show  $d_1 = d_2 = \dots = d_m$ . If this is the case, the following argument concludes the proof:

Let  $d_j'$  maximal s.t.  $2^{d_j'}$  divides  $\varphi(p_j^{\alpha_j})$

$$\text{Lemma 4} \Rightarrow P(d_j = d_j') = \frac{1}{2} \Rightarrow P(d_j = k) \leq \frac{1}{2}$$

$\forall k \in \mathbb{N}$ . Since  $d_j$  independent

$$\Rightarrow P(d_1 = \dots = d_m) \leq 2^{-m+1}$$

It remains to show  $d_1 = \dots = d_m$ .

Case 1:  $r$  is odd.  $x^r \equiv 1 \pmod{N} \Rightarrow x^{r_j} \equiv 1 \pmod{p_j^{d_j}}$   
 $\Rightarrow r_j$  divides  $r \Rightarrow r_j$  is odd  $\Rightarrow d_j = 0$ .

Case 2:  $r$  is even and  $x^{\frac{r}{2}} \equiv -1 \pmod{N}$   
 $\Rightarrow x^{\frac{r}{2}} \equiv -1 \pmod{p_j^{d_j}}$ . If  $r_j$  would divide  $\frac{r}{2}$ , we would  
 have  $x^{\frac{r}{2}} = \underbrace{x^{kr_j}}_{= x_j^{kr_j} \pmod{p_j^{d_j}}} = -1 \pmod{p_j^{d_j}}$  }  $\Rightarrow r_j$  does not divide  $\frac{r}{2}$ .

but  $r_j$  divides  $r$ . Hence largest power  
 of 2 dividing  $r$  must be equal to  $d_j$ . □

Note that if  $r$  is period of  $x \pmod{N}$   
 and  $r$  even, we have  $x^{\frac{r}{2}} \not\equiv 1 \pmod{N}$   
 $\Rightarrow P(r \text{ even } x^{\frac{r}{2}} \not\equiv \pm 1 \pmod{N}) \geq 1 - 2^{-m+1} \geq \frac{1}{2}$   
 if  $m \geq 2$ , i.e., if  $N$  is not a prime power.

Define  $|Uy\rangle := |xy \bmod N\rangle$

Note that  $|j\rangle \mapsto |xj \bmod N\rangle$  is bijective

since  $xj = xj' \bmod N \quad x(j-j') = 0 \bmod N$   
 $\Rightarrow \gcd(x, N) \neq 1$ .

$\Rightarrow U$  is permutation on basis elements  $\Rightarrow$  unitary

Lemma Let  $r$  denote the period of  $x$  in  $(\frac{Z}{N\mathbb{Z}})^*$ .

Then,  $|U_s\rangle := \frac{1}{\sqrt{r}} \sum_{k=0}^{r-1} \exp\left(\frac{-2\pi i s k}{r}\right) |x^k \bmod N\rangle$

are EVs of  $U$  with eigenvalues

$$\lambda_s := \exp\left(\frac{2\pi i s}{r}\right), \quad s = 0, \dots, r-1$$

Proof

$$\begin{aligned} U|U_s\rangle &= \frac{1}{\sqrt{r}} \sum_{k=0}^{r-1} \exp\left(\frac{-2\pi i s k}{r}\right) |x^{k+1} \bmod N\rangle \\ &= \lambda_s \frac{1}{\sqrt{r}} \sum_{k=0}^{r-1} \exp\left(\frac{-2\pi i s(k+1)}{r}\right) |x^{k+1} \bmod N\rangle \end{aligned}$$

$x^r = x^0 \bmod N$   
 $e^{-2\pi i s} = e^0$

$\Rightarrow \lambda_s |U_s\rangle$

□

Note that there holds

$$\frac{1}{r} \sum_{s=0}^{r-1} |us\rangle = \frac{1}{r} \sum_{s=0}^{r-1} \sum_{k=0}^{r-1} e^{\frac{-2\pi iks}{r}} |x^k \bmod N\rangle$$

$$= \frac{1}{r} \sum_{k=0}^{r-1} \underbrace{\sum_{s=0}^{r-1} e^{\frac{-2\pi iks}{r}}}_{\begin{cases} 0 & k \neq 0 \\ r & k=0 \end{cases}} |x^k \bmod N\rangle$$

$$= |x^0 \bmod N\rangle = |1\rangle$$

$\Rightarrow$  Quantum phase estimation for  $f$  with input  $|1\rangle$  produces the state

$$\frac{1}{r} \sum_{s=0}^{r-1} |2^{\frac{s}{r}}\rangle$$

Note that  $r \leq N$  hence  $\frac{s}{r}$  can be exactly represented with  $n$  bits

- To efficiently implement  $U^{2^k}|y\rangle = |xy^{2^k} \bmod N\rangle$

We use the fact  $k$ -times

$$y^{2^k} = (((y^2)^2)^2). \text{ Hence } |xy^{2^k} \bmod N\rangle$$

requires  $1$  multiplication,  $k$  squares mod  $N$

$\Rightarrow$  can be implemented as in classical circuits with  $XOR$  &  $AND$  gates.

## Shor's period finding algorithm

Note that this is the only quantum part of Shor's alg.  $N \leq 2^n$

1) Prepare  $| \psi \rangle = |\tilde{1}\rangle = |\overbrace{0 \dots 0}^n 1\rangle$  and  $U$  as before

2) Use quantum phase estimation with  $U$  and  $|\psi\rangle$  to obtain the state

$$\frac{1}{\sqrt{r}} \sum_{s=0}^{r-1} |2^s \frac{s}{r}\rangle$$

3) Measurement gives a random number  $r$  from the set  $\left\{ \frac{1}{r}, \dots, \frac{r-1}{r} \right\} \subseteq \left\{ \frac{i}{2^n} : i=0, \dots, 2^n - 1 \right\}$

4) Write  $\frac{s}{r} = \frac{s_0}{r_0}$  with  $\text{gcd}(s_0, r_0) = 1$ . If  $s, r$  were coprime already, we have  $r=r_0$  and found the period. Otherwise, repeat.

Remark: There are  $O(\frac{r}{\text{ggr}})$  — Euler's totient function numbers  $1 \leq k \leq r$  with  $\text{gcd}(s, k) = 1$ .

$\Rightarrow$  Success prob of step 4 is  $O(\frac{1}{\text{ggr}})$

Since  $\frac{1}{\text{ggr}} \geq \frac{1}{\text{ggr}N} = \frac{1}{\text{gpr}^n}$ , step 4 requires on average  $\text{gpr}^n$  runs.

## Remark

Implicitly, we used QFT to find the frequency of

$x^k \bmod N$ , i.e. the period of  $x$

---

## Grover's algorithm

Problem: Given  $F : \{0,1\}^n \rightarrow \{0,1\}$ , find  $x \in \{0,1\}^n$  with  $F(x) = 1$  or determine  $F = 0$ .

Recall the query

$$Q_F(|i\rangle) = (-1)^{F(i)} |i\rangle$$

(again we identify  $x \in \{0,1\}^n$  with  $i = 0, \dots, 2^{n-1}$ )

Define the Grover diffusion operator

$$U_S := 2 \underbrace{|S\rangle\langle S|}_{\text{Projection onto } |S\rangle} - I$$

where  $|S\rangle$  denotes the uniform state

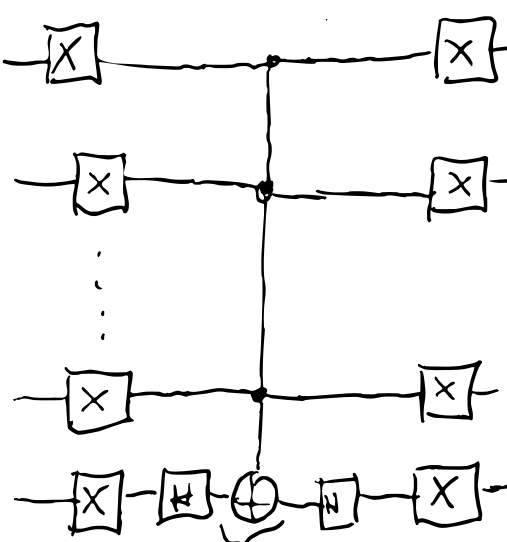
$$|S\rangle = \frac{1}{\sqrt{N}} \sum_{j=0}^{N-1} |j\rangle$$

Note that  $|S\rangle = H^{\otimes n} |0^n\rangle$  and hence

$$U_S = H^{\otimes n} \underbrace{\left( 2|0^n\rangle\langle 0^n| - I \right)}_{\text{corresponds to the matrix}} H^{\otimes n}$$

corresponds to the matrix

$$\begin{pmatrix} +1 & & & \\ -1 & 0 & & \\ & \ddots & \ddots & \\ 0 & & & -1 \end{pmatrix} \in \mathbb{C}^{2^n \times 2^n}$$



$$-(|10\rangle\langle 01 - I)$$

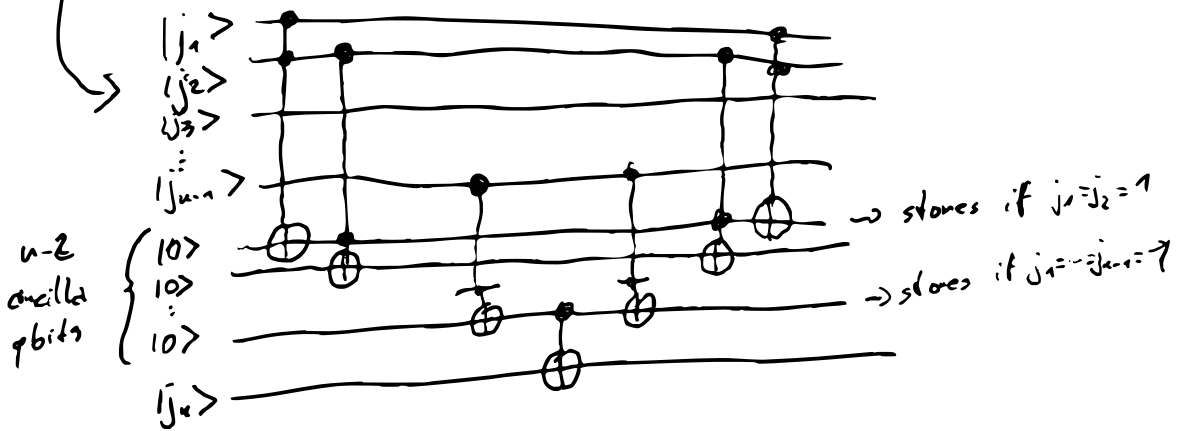
since we can only measure amplitudes,  
a global phase change  
(multiplication with  
 $\lambda \in \mathbb{C}, |\lambda|=1$ )  
is not noticeable  
alternatively, one

can apply

$$|\bar{Y}\rangle|\bar{X}\rangle|\bar{Z}\rangle|\bar{X}\rangle \quad \text{do obtain}$$

$$(|0\rangle)(|1\rangle)(|0\rangle)(|0\rangle) = (|0\rangle)$$

generalized Toffoli gate



## Algorithm

1) Apply  $H^{\otimes n}$  to obtain  $|S\rangle = \frac{1}{\sqrt{N}} \sum_{j=0}^{N-1} |j\rangle$

2) For  $k=1, \dots, r(N)$  do

2a) Apply  $Q_F$  to current state  $\sum_{j=0}^{N-1} \alpha_j |j\rangle$   
to obtain  $\sum_{j=0}^{N-1} (-1)^{F(j)} \alpha_j |j\rangle \rightarrow$

2b) Apply  $U_S$  to first  $n$  qubits

3) Measure in computational basis finds state

Then: With  $r(N) = \frac{\arccos(\sqrt{\frac{1}{N}})}{2\arcsin(\sqrt{\frac{1}{N}})}$ , Grover's alg. finds state

$|x\rangle$  with  $F(x)=1$  with probability  $\geq 1 - \frac{t}{N}$

Proof:

Define  $|B\rangle := \frac{1}{\sqrt{N-t}} \sum_{F(j)=0} |j\rangle$ , where  $t = \#\bar{F}(|1\rangle)$

Note that the first  $n$  qubits of  $|x\rangle \mapsto Q_S^{-1}(x\rangle)$   
satisfy  $|x\rangle \mapsto (2|B\rangle\langle B| - I)|x\rangle = U_B(|x\rangle)$

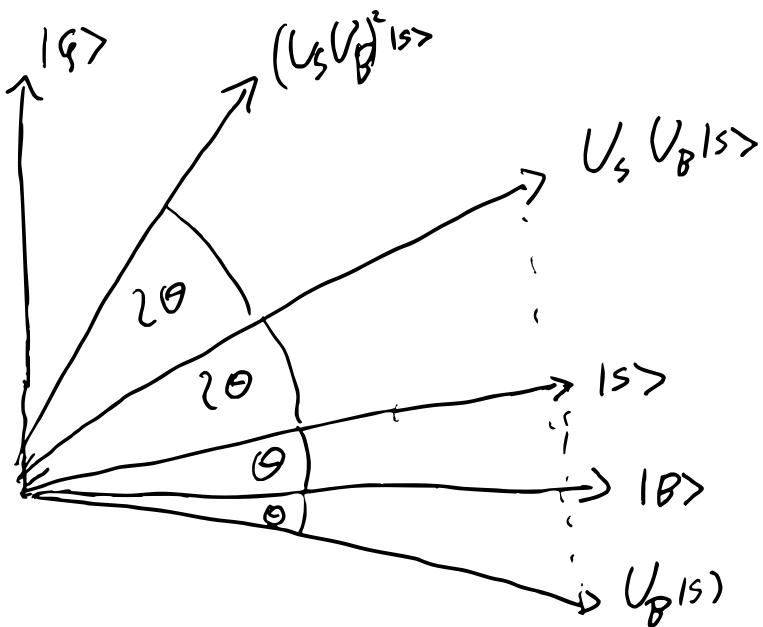
(check for basis elements  $|x\rangle = |j\rangle$ )

Define  $|g\rangle := \frac{1}{\sqrt{t}} \sum |j\rangle$  and note

$|S\rangle \in \text{span}\{|g\rangle, |B\rangle\}$ ;  $U_S, U_B : \text{span}\{|g\rangle, |B\rangle\} \hookrightarrow$

hence, the Grover iteration never leaves the plane

$\text{span}\{|g\rangle, |B\rangle\}$



Each application of  $U_s U_B$  rotates a state  $|x\rangle$  towards  $|g\rangle$  by an angle  $\Theta$  given by  $\text{span}\{|g\rangle, |x\rangle\}$

$$\cos \Theta = \frac{\langle s | B \rangle}{|s| |B|} = \frac{1}{\sqrt{N}} \frac{1}{\sqrt{N-t}} \sum_{f(j)=0} \langle j | j \rangle = \frac{N-t}{\sqrt{N(N-t)}}$$

$$= \sqrt{1 - \frac{t}{N}}$$

$$\Rightarrow \sin^2 \Theta = 1 - \cos^2 \Theta = 1 - 1 + \frac{t}{N} \Rightarrow \sin \Theta = \sqrt{\frac{t}{N}}$$

$$\Rightarrow \Theta \approx \sqrt{\frac{t}{N}}$$

for large  $N$ .

Since the angle between  $|g\rangle$  and  $|s\rangle$  is  $\alpha$

$$\cos \alpha = \frac{1}{\sqrt{N}} \frac{1}{\sqrt{N-t}} \sum_{f(j)=1} \langle j | j \rangle = \frac{t}{\sqrt{N}} \Rightarrow r(N) = \text{round} \left( \frac{\arccos \left( \frac{t}{\sqrt{N}} \right)}{2 \arcsin \frac{t}{\sqrt{N}}} \right)$$

to obtain a state  $|x\rangle$  with  $\langle g|x\rangle \geq \cos(\theta)$

$$\Rightarrow |\langle g|x\rangle|^2 \geq \cos^2 \theta = 1 - \frac{t}{N}$$



Remark in practise, we don't know when  $|x\rangle$  gets close to  $|g\rangle$ . But we can measure and check whether  $F(x) = 1$ . If not, restart the algorithm. If  $t < N$

$\Rightarrow$

$$r(N) = \frac{\arccos \sqrt{\frac{t}{N}}}{\arcsin \sqrt{\frac{t}{N}}} \approx \frac{\pi}{4} \sqrt{\frac{N}{t}}$$

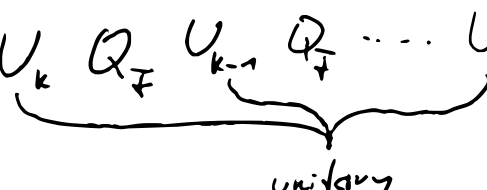
Remark If  $t=1$ , a classical algorithm requires at least  $N$  evaluations of  $F$ . Grover's algorithm only needs  $O(\sqrt{N})$  iterations with  $O(n)$  gates

## Optimality of prover's Algo

Lemma Any Quantum Algo based on the Query  $Q_F$  requires at least  $O(\delta \sqrt{N})$  applications of  $Q_F$  to succeed with prob.  $\geq \delta^2$ .

Proof Any Q-Algo starts with some state  $|\psi\rangle$  and applies Unitary transformations as well as  $Q_F$ . i.e. we may write the state after  $k$  applications of  $Q_F$  as

$$|\psi_k^F\rangle := U_k Q_F U_{k-1} Q_F \dots U_1 Q_F |\psi\rangle$$



Additionally, we will consider

$$|\psi_k\rangle := U_k U_{k-1} \dots U_1 |\psi\rangle$$

Let  $\overline{f}_j : \{0,1\}^n \rightarrow \{0,1\}$  with  $\overline{f}_j(|i\rangle) = d_{ij}$

and define

$$D_k = \sum_{j=0}^{N-1} \|\psi_k^F - \psi_k\|^2$$

Idea: If  $D_k$  is small, the evolution of  $\tilde{F}$  doesn't make a big difference and it will be hard to find  $\tilde{F}(|i\rangle) = 1$ .

Step 1: Show that  $D_k \leq 4k^2$  by induction.

$$k=0: D_0 = 0 \quad \checkmark$$

$$\begin{aligned} k \mapsto k+1: D_{k+1} &= \sum_{j=0}^{N-1} \| U_{k+j} Q_{\tilde{F}_j} \psi_k^{\tilde{F}_j} - U_{k+j} \psi_k \| ^2 \\ &= \sum_{j=0}^{N-1} \| Q_{\tilde{F}_j} \psi_k^{\tilde{F}_j} - \psi_k \| ^2 \\ &= \sum \| Q_{\tilde{F}_j} (\psi_k^{\tilde{F}_j} - \psi_k) + (Q_{\tilde{F}_j} - I) \psi_k \| ^2 \end{aligned}$$

$$\begin{aligned} \text{Note that } Q_{\tilde{F}_j} &= I - 2|j\rangle\langle j| \Rightarrow (Q_{\tilde{F}_j} - I)|\psi_k\rangle \\ &= -2|j\rangle(\langle j|\psi_k\rangle) \end{aligned}$$

$$\begin{aligned} \Rightarrow D_{k+1} &\leq \sum_{j=0}^{N-1} \| \psi_k^{\tilde{F}_j} - \psi_k \| ^2 + 4 \| \psi_k^{\tilde{F}_j} - \psi_k \| |\langle j|\psi_k\rangle| \\ &\quad + 4 |\langle j|\psi_k\rangle|^2 \end{aligned}$$

Cauchy - Schwartz shows

$$D_{k+1} \leq D_k + 4 \left( \sum_j \| \psi_k^{\pi_j} - \psi_k \|^2 \right)^{\frac{1}{2}} \left( \sum_j |\langle j | \psi_k \rangle|^2 \right)^{\frac{1}{2}}$$
$$= 4 \underbrace{\langle \psi_k | \psi_k \rangle}_{=1}^2$$
$$\leq D_k + 4\sqrt{D_k} + 4$$

Induction Hyp.  $\rightarrow \leq 4k^2 + 8k + 4 = \underline{4(k+1)^2}$  ✓

This concludes the induction and shows

$$\underline{D_k \leq 4k^2}$$

Step 2: Assume  $|\langle j | \psi_k^{\pi_j} \rangle|^2 \geq \sum_{j=0}^N \text{if } j=0, \dots, k, \text{ i.e.}$   
the Alp. works with  $\kappa^{j, \theta}$  prob. for each input.

Replacing  $|j\rangle$  with  $e^{i\theta}|j\rangle$  does not change  
success prob.  $\Rightarrow$  we may assume  $|\langle j | \psi_k^{\pi_j} \rangle| = |\langle j | \psi_k \rangle|$ .

$$\Rightarrow \| \psi_k^{\pi_j} - j \|^2 = 2 - 2|\langle j | \psi_k^{\pi_j} \rangle| \leq \underline{2(1-\delta)}$$

$$\text{Define } E_k := \sum_{j=0}^{k-1} \| \psi_k^{\pi_j} - j \|^2 \Rightarrow E_k \leq 2N(1-\delta)$$

$$\overline{\pi}_k := \sum_{j=0}^{k-1} \| j - \psi_k \|^2$$

$$\begin{aligned}
 \Rightarrow D_k &= \sum_{j=0}^{N-1} \|(\psi_k^{\top j} - j) + (j - \psi_k)\|^2 \\
 &\geq \sum_j \| \psi_k^{\top j} - j \|^2 - 2 \| \psi_k^{\top j} - j \| \| j - \psi_k \| \\
 &\quad - \| j - \psi_k \|^2 \\
 &= E_k + F_k - 2 \left( \sum_j \| \psi_k^{\top j} - j \|^2 \right)^{\frac{1}{2}} \left( \sum_j \| j - \psi_k \|^2 \right)^{\frac{1}{2}} \\
 &= E_k + F_k - 2 \sqrt{E_k F_k} = \underline{( \sqrt{E_k} - \sqrt{F_k} )^2}
 \end{aligned}$$

Note that any state  $|\phi\rangle$  satisfies

$$\begin{aligned}
 \sum_{j=0}^{N-1} \| \phi - j \|^2 &= \sum_j \| \phi \|^2 - 2 \langle \phi | j \rangle + \sum_j \| j \|^2 \\
 &\geq 2N - 2 \sqrt{\sum_j 1} \underbrace{\sqrt{\sum_j |\langle \phi | j \rangle|^2}}_{=1} \\
 &= 2(N - \sqrt{N})
 \end{aligned}$$

This implies  $F_k \geq 2(N - \sqrt{N})$  and hence

$$\begin{aligned}
 F_k &\geq E_k \text{ for sufficiently large } N \text{ and} \\
 \sqrt{F_k} - \sqrt{E_k} &\geq \sqrt{2(N - \sqrt{N})} - \sqrt{2(1-\delta)N} = \frac{2\sqrt{N} - 2\sqrt{N}}{\sqrt{2(N - \sqrt{N})} + \sqrt{2(1-\delta)N}}
 \end{aligned}$$

$$\geq \frac{\epsilon \delta N - \epsilon \sqrt{N}}{\epsilon \sqrt{2N}} = \frac{\delta}{\sqrt{2}} \sqrt{N} - \frac{1}{\sqrt{2}}$$

$$\Rightarrow D_k \geq (\widehat{F}_k - \widehat{E}_k)^2 \simeq \delta^2 N$$

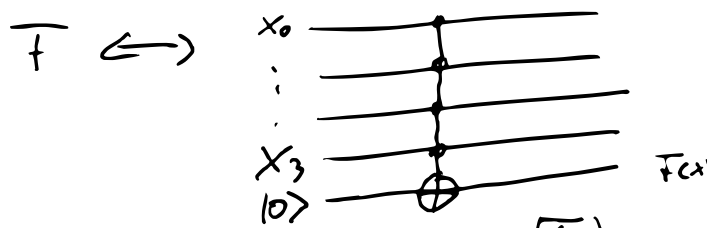
$$\text{Since } D_k \leq 4k^2 \Rightarrow k \simeq \delta \sqrt{N}$$

□

Example in Quantum Computer

Link on webpage,  $N=16$ ,  $n=4$

$$\overline{f}(x) = \overline{f}(x_0, \dots, x_3) = x_0 \text{ AND } x_1 \text{ AND } x_2 \text{ AND } x_3 \\ = \sum_{x=(1,1,1,1)} f = 1$$



There holds:  $\frac{\arccos(\sqrt{\frac{1}{16}})}{2 \arcsin(\sqrt{\frac{1}{16}})} \approx 2.6083$

$$\Rightarrow \text{optimal } r(N) = 3.$$

$$\text{Probability of success} \geq 1 - \frac{1}{N} = \frac{15}{16} \approx 0.9375$$

# Numerical Quadrature:

Problem: Given  $f: \{0,1\}^n \rightarrow [-1,1]$ , compute  $\frac{1}{N} \sum_{i=0}^{N-1} f^{(i)}$

## Quantum Super Sampling

Assumption: Oracle  $Q_f: |0\rangle \otimes |i\rangle \mapsto \left[ \sqrt{1-p_{(i)}} |0\rangle + \sqrt{p_{(i)}} |1\rangle \right] \otimes |i\rangle$

1) Start with  $|0\rangle \otimes |0\rangle \otimes |0\rangle$

2) Apply  $H^{\otimes p} \otimes I \otimes H^{\otimes n}$   $\rightarrow$

$$\frac{1}{\sqrt{PN}} \sum_{i=0}^{N-1} \sum_{m=0}^{p-1} |m\rangle \otimes |0\rangle \otimes |i\rangle$$

3) Apply  $Q_f$   $\rightarrow$

$$\frac{1}{\sqrt{PN}} \sum_i \sum_m |m\rangle \otimes \left[ \sqrt{1-p_{(i)}} |0\rangle + \sqrt{p_{(i)}} |1\rangle \right] \otimes |i\rangle$$

4) Define  $|G\rangle := \sqrt{\frac{\sum p_{(i)}}{N}} \sum_i \sqrt{p_{(i)}} |1\rangle \otimes |i\rangle$

$$|B\rangle := \sqrt{\frac{\sum 1-p_{(i)}}{N}} \sum_i \sqrt{1-p_{(i)}} |0\rangle \otimes |i\rangle$$

$$\bar{P} := \frac{1}{N} \sum p_{(i)}$$

## Note

$$U_s := \left( 2|0\rangle\langle 0| - I \right) \otimes I$$

$$U_s |B\rangle = |B\rangle$$

$$U_s |G\rangle = -|G\rangle$$

---

$$U_\psi = \left( 2|\psi\rangle\langle\psi| - I \right)$$

$$\text{with } |\psi\rangle := \sqrt{1-p} |B\rangle + \sqrt{p} |G\rangle$$

Steps 1-3 provide quantum circuit to implement  
the map  $U: |0\rangle\otimes|0^n\rangle \mapsto |\psi\rangle$

$$\Rightarrow U_\psi = \tilde{U} \left( 2|0^{n+1}\rangle\langle 0^{n+1}| - I \right) U$$

as in Grover's algorithm.

5) State reads

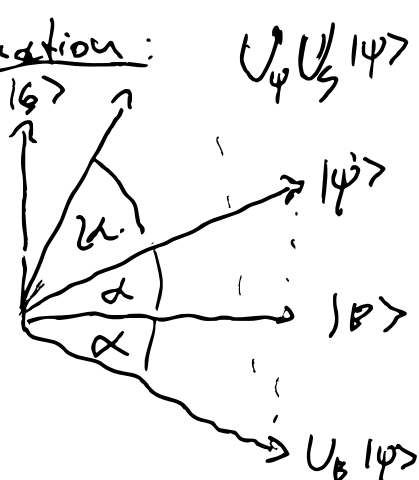
$$\frac{1}{\sqrt{P}} \sum_{m=0}^{P-1} |m\rangle \otimes [\sqrt{1-p}|B\rangle + \sqrt{p}|G\rangle]$$

for  $\bar{P} := \frac{1}{n} \sum f(i)$

6) Apply grover iteration  $U_\psi U_g$   $m$ -times to second  $n+1$  qubits to obtain

$$\frac{1}{\sqrt{P}} \sum_{m=0}^{P-1} |m\rangle \otimes (U_\psi U_g)^m [\sqrt{1-p}|B\rangle + \sqrt{p}|G\rangle]$$

Explanation:



$$U_\psi U_g |ψ\rangle$$

$$\text{Let } \sin \theta = \sqrt{p}$$

$$\Rightarrow |ψ\rangle = \cos \theta |B\rangle + \sin \theta |G\rangle$$

$$(U_\psi U_g)^m |ψ\rangle = \cos((2m+1)\theta) |B\rangle + \sin((2m+1)\theta) |G\rangle$$

$U_g$  acts like reflection across  $|B\rangle$

Note:  $m$ -times application of  $U_\psi U_g$  is in "phase estimation"-slg. But: Cost in general  $O(P_m)$

7)  $|\psi\rangle$  rotates with rate  $2\theta$  in  $|B\rangle - |g\rangle$  plane. Use QFT to obtain rate.

Measure basis  $\frac{1}{\sqrt{P}} \sum_{m=0}^{P-1} |m\rangle \otimes \left[ \cos((2m+1)\theta)|B\rangle + \sin((2m+1)\theta)|g\rangle \right]$   
and qbits in  $\{|g\rangle, |B\rangle\}$ -Basis to obtain

$$\frac{1}{C} \sum_{m=0}^{P-1} \underbrace{\sin[(2m+1)\theta]}_{x_m} |m\rangle \quad \left( \text{or } \cos((2m+1)\theta) \right)$$

$$\text{where } C = \frac{1}{P} \sum_{m=0}^{P-1} \sin^2[(2m+1)\theta].$$

→ Apply QFT to obtain [assume  $\Theta = \frac{\pi\theta_0}{P}, \theta_0 \in \mathbb{R}$ ]

$$\frac{1}{C} \sum_{m=0}^{P-1} x_m |m\rangle, \text{ where } x_m \text{ is given}$$

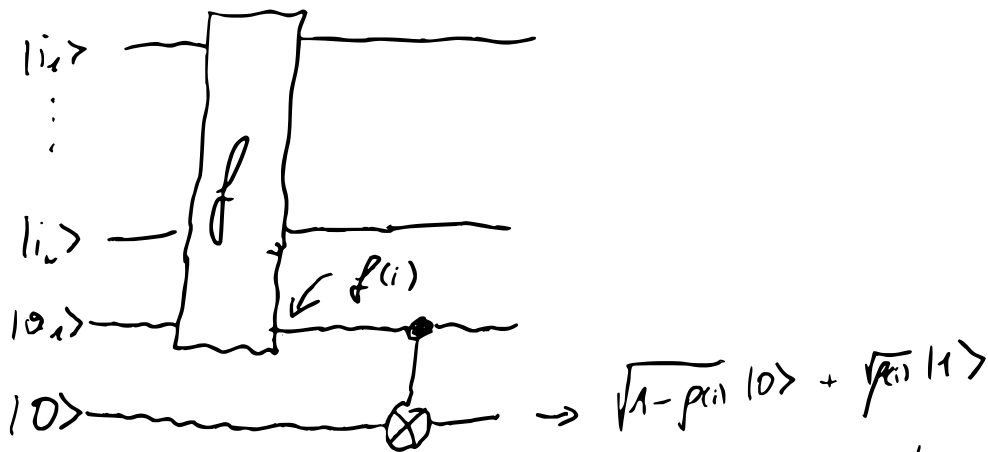
by FFT of  $\hat{x}_m$ ; i.e.

$$\begin{aligned} x_m &= \frac{1}{\sqrt{P}} \sum_{k=0}^{P-1} \hat{x}_k e^{\frac{2k\pi i m}{P}} \\ &= \frac{1}{\sqrt{P}} \sum_{k=0}^{P-1} \frac{1}{2i} \begin{pmatrix} e^{i(2k+1)\frac{\theta_0}{P}} & -e^{-i(2k+1)\frac{\theta_0}{P}} \end{pmatrix} e^{\frac{2k\pi i m}{P}} \\ &= e^{i\frac{\theta_0}{P}} \frac{1}{2i} \begin{cases} \sqrt{P} & m = \theta_0 \\ 0 & \text{else} \end{cases} \end{aligned}$$

8) Final measurement produces  $|m\rangle = |\theta_0\rangle$   
 and hence  $\bar{f} = \sin\left(\frac{\pi\theta_0}{p}\right)^2$

Remark: implementation of  $f$  unclear.

If  $f: \{0,1\}^n \rightarrow \{0,1\}$ , we can use  
 controlled NOT-gate to implement



general integrals can always be split into

$$\frac{1}{N} \sum_{i=0}^{N-1} f(i) = \frac{1}{N} \sum_{i=0}^{N-1} \sum_{k=1}^R 2^{-k} f_k(i) \in \{0,1\}$$

i.e.,  $R$  integration problems for precision  $2^{-R}$ .

# Lineare Gleichungssysteme am Quanten Computer

Sei  $A \in \mathbb{C}^{N \times N}$ ,  $b \in \mathbb{C}^N$ ,  $N = 2^n$

(invertierbar, hermitisch (koni. symm.))

LGS: finde  $x \in \mathbb{C}^N$  s.t.  $Ax = b$

für  $A$  par.def.,  $\rightsquigarrow$  klass. Verfahren Standard CG  
sparse s.m. sparsity

Aufwand  $\Theta(sN \cdot \ell)$   $\ell \dots$  Anzahl Iterationen

Fehler  $\|x - x_0\|_A \leq 2 \left(\frac{\sqrt{K}-1}{\sqrt{K}+1}\right)^\ell \|x - x_0\|_A$

$K = K(A) \dots$  Konditionszahl  $= \|A\| \cdot \|A^{-1}\|$

für rel. Fehler  $\leq \varepsilon$

$$\Rightarrow 2 \left(\frac{\sqrt{K}-1}{\sqrt{K}+1}\right)^\ell \leq \varepsilon$$

$$q := \left(1 - \frac{2}{\sqrt{K}+1}\right) \geq e^{-\frac{2}{\sqrt{K}}}$$

$$\Rightarrow \ell \leq \frac{\log \frac{\varepsilon}{2}}{\log q} \leq \frac{1}{2} \sqrt{K} \ln \left(\frac{2}{\varepsilon}\right)$$

$\rightsquigarrow$  Aufwand  $\Theta(sNK \ln \frac{2}{\varepsilon})$

Q: exponentieller Speedup auf Q-Cmp.  
möglich ??

Quantenversion von LGS:

QLGS:  $A \in \mathbb{C}^{N \times N}$  hermitisch,  $\det A = 1$   
 $(b_i) = b \in \mathbb{C}^N$ ,  $x \stackrel{(x_i)}{\in} \mathbb{C}^N$  s.t.  $x = A^{-1}b$   
gegeben,  $N = 2^n$ .

Sei weiters  $|b\rangle$  ein  $n$ -qubit Zustand  
gegeben als

$$|b\rangle := \sum_i b_i |i\rangle / \left\| \sum_i b_i |i\rangle \right\|$$

und

$$|x\rangle := \sum_i x_i |i\rangle / \left\| \sum_i x_i |i\rangle \right\|$$

Ziel: finde Zustand  $|x\rangle$  s.d.

$$\| |x\rangle - |x\rangle \| \leq \varepsilon$$

→ s. Fehlerfotenz

mit Wahrsch.  $S \approx \frac{1}{2}$

---

Schreibweise in Literatur (Formel<sup>0</sup>)

$$A|x\rangle = |b\rangle$$

Bem.:.) Normalisierungen notwendig  
da sonst kein Q-Zustand!

. )  $QLSP \neq LSP$

$\hookrightarrow$  man erhält nur Zustand  $|x\rangle$ , nicht  
Vektor, der  $Ax=0$  löst!

. ) falls A nicht hermitisch betrachte

$$\tilde{A} = \begin{pmatrix} 0 & A^H \\ A & 0 \end{pmatrix} = |1\rangle\langle 0| \otimes A + |0\rangle\langle 1| \otimes A^H$$

$\leadsto$  Matrix dim. verdoppelt

$\simeq 1$  zusätzliches Ancilla Qubit

$$\text{löse } \tilde{A}|0x\rangle = |1b\rangle$$

. )  $\det A = 1$  keine echte Einschränkung  
 $\leadsto$  skalare Matrix

---

. ) wollen: effizienten Algor.

$\hookrightarrow$  polylogarithmisch in N

. ) impl. Annahme: Zustand  $|b\rangle$  kann  
effizient bereitgestellt werden

A kann am Q-Cmp. implementiert werden  
 $\hookrightarrow$  später!

Anm. Auslesen von Koeff. von  $|x\rangle \sim O(N)$

$\rightarrow$  QLSP nur nützlich wenn Quantenzust. benötigt  
 $\rightarrow$  Subroutine für andere Probleme

---

HHL (Harrow, Hassidim, Lloyd) - Algorithmus

Idee: A hermitisch  $\rightarrow$  spektral (setz):

$$A = \sum_{j=0}^{N-1} \lambda_j |v_j\rangle \langle v_j|$$

$$\lambda_j \in \mathbb{R} \quad |v_j\rangle \in \mathbb{R}^N \text{ -- EV}$$

$$|b\rangle = \sum_{j=0}^{N-1} \beta_j |v_j\rangle = \sum_{j=0}^{N-1} \langle v_j | b \rangle |v_j\rangle$$

spektral (setz (oder direkt nachrechnen)):

$$A^{-1} = \sum_{j=0}^{N-1} \frac{1}{\lambda_j} |v_j\rangle \langle v_j|$$

$$\Rightarrow |x\rangle = A^{-1}|b\rangle = \sum_{j=0}^{N-1} \frac{\beta_j}{\lambda_j} |v_j\rangle$$

nur Formel zu verstehen  $\rightarrow$  als korrekte  
Quantenoperation später! 0

Problem:  $A, A^{-1}$  i.s. nicht unitär  
 $\Rightarrow A^{-1}|b\rangle$  nicht erlaubt

Lösung: Matrix  $U = e^{iA}$  unitär,  
 hat selbe EV wie  $A$  gle

$$\begin{aligned}
 A &= XDX^{-1} \Rightarrow e^{iA} = \sum_{n=0}^{\infty} \frac{(ix)^n}{n!} \\
 &= \sum_{n=0}^{\infty} \frac{(iXDX^{-1})^n}{n!} \\
 &= X \sum_{n=0}^{\infty} \frac{(iD)^n}{n!} X^{-1} \\
 &\approx Xe^{iD}X^{-1} \\
 &= \sum_j e^{i\lambda_j} |v_j\rangle \langle v_j|
 \end{aligned}$$

1) berechne EW von  $U$

$\Rightarrow$  EW von  $A$

$\hookrightarrow$  mittels Quantum Phase Estimation!

2) Invertiere EW  $\lambda_j \mapsto \frac{1}{\lambda_j}$

wie ??  $\rightarrow$  "controlled rotation"

3) Reversiere QPE

## Hamiltonian Simulation

direkt  $\Theta(N^3)$

Q: Wie kann man  $e^{iAt} = U$  bzw.  
 $U^{2^k}$  effizient implementieren?

hier: A ist Hamiltonian für U

obige Frage ist eine fundamentale Fragestellung  
in Quanten computing?

Schrödinger gl. s.

$$i \frac{d}{dt} |\psi(t)\rangle = H |\psi(t)\rangle$$

beschreiben jedes Q-System

$$\hookrightarrow |\psi(t)\rangle = e^{-iHt} |\psi(0)\rangle$$

Zur eff. Simulation  $\rightarrow$  muss  $e^{-iHt}$  eff. impl.

"Hamiltonian Simulation"

als circuit  
bis auf Fehler  $\leq \epsilon$

Definition Ein Hamiltonian  $H$ , der auf  $n$  qubits operiert  
kann effizient simuliert werden, wenn

$t > 0, \epsilon > 0 \exists$  q-circuit  $U_H$  bestehend aus  
 $\text{poly}(n, t, \frac{1}{\epsilon})$  gates s.d.

$$\|U_H - e^{-iHt}\| < \epsilon$$

Bem. Zeitabh. wichtig

"no-fast forwarding theorem"

generell: min. Zeit zur Simulation von  $H$  an  $t$   
 $\sim \Theta(t)$

---

generelles approx. Problem  $\rightarrow$  NP schwer. Gute Zahl. zu  
finden

$\rightarrow$  brauchen Annahmen

---

Ann. 1:  $H = \sum_{j=1}^m H_j$   $m \sim \text{poly}(n)$

& alle  $H_j$  operieren auf  $k = \Theta(1)$  qubits  
" $k$ -Local Hamiltonians"

---

Trotter-Suzuki splittung

Für  $k$ -Local Ham. Implementierung von

$e^{iH_j t}$  einfacher Koeffizient ob  $H_j$  nur auf  
 $k$  qubits operiert

falls z.B.  $H$  diagonal  $\Rightarrow H = TDT^H$

$$\Rightarrow e^{iHt} = T e^{iD} T^H$$

falls  $D_{\text{eff}}$  effizient bestimmbar

$$\Rightarrow |i0\rangle \xrightarrow{\text{koordinat.}} |iD_{\text{eff}}\rangle \xrightarrow{\text{Phase part.}} e^{iD_{\text{eff}}t} |iD_{\text{eff}}\rangle$$
$$\xrightarrow{\text{decompd entry}} e^{iD_{\text{eff}}t} |i0\rangle$$

für  $k$ -fach  $\rightsquigarrow$  effiziente Diagonalisierung ✓  
der  $H_j$

Aber:  $e^{iHt} \neq \prod_{j=1}^m e^{iH_j t}$

gilt nur, wenn alle  $H_j$  kommutieren

da  $e^{A+B} = \sum_{n=0}^{\infty} \frac{(A+B)^n}{n!} = \sum_{n=0}^{\infty} \sum_{k=0}^n \binom{n}{k} A^k B^{n-k}$

(schr. pred.)  $= \sum_{k=0}^{\infty} \frac{A^k}{k!} \cdot \sum_{n=0}^{\infty} \frac{B^n}{n!} = e^A \cdot e^B$   
nur für  $\text{Komm } 0$

# Lösung: Trotter / Lie-Produkt Formel

Theorem Sei  $H = H_1 + H_2$ , alle hermitisch

$$\Rightarrow \lim_{L \rightarrow \infty} \left( e^{iH_1 t/L} \cdot e^{iH_2 t/L} \right)^L = e^{iHt}$$

Es gilt sogar

$$\left\| e^{iHt} - \left( e^{iH_1 t/L} \cdot e^{iH_2 t/L} \right)^L \right\| \leq C \cdot \frac{t^2}{L}$$

mit  $C = C(\|H_1\|, \|H_2\|)$

Beweis Taylor,

zu verstehen als Terme in  
 $H_1, t, L$  bedr. durch

$$e^{iH_1 t/L} = I + iH_1 \frac{t}{L} + \underbrace{\mathcal{O}\left(\|H_1\|^2 \frac{t^2}{L^2}\right)}$$

$$\begin{aligned} \Rightarrow e^{iH_1 t/L} \cdot e^{iH_2 t/L} &= \left( I + iH_1 \frac{t}{L} + \mathcal{O}\left(\|H_1\|^2 \frac{t^2}{L^2}\right) \right) \cdot \\ &\quad \left( I + iH_2 \frac{t}{L} + \mathcal{O}\left(\|H_2\|^2 \frac{t^2}{L^2}\right) \right)^L \\ &= \left( I + i \cdot (H_1 + H_2) \frac{t}{L} + \mathcal{O}\left(\max(\|H_1\|, \|H_2\|) \frac{t^3}{L^2}\right) \right)^L \end{aligned}$$

$$\begin{aligned} (*) \quad \stackrel{\text{Taylor}}{\Rightarrow} & \left( \underbrace{e^{i(H_1 + H_2) \frac{t}{L}}}_{=: A} + \underbrace{\mathcal{O}\left(\max(\|H_1\|, \|H_2\|)^2 \frac{t^2}{L^2}\right)}_{=: B} \right)^L \end{aligned}$$

$$D_2 (A+B)^L = A^L + \sum_{j=0}^{L-1} A^{L-j-1} B A^j + \dots + B^L$$

$\underbrace{\dots}_{\mathcal{O}(||B||^2)}$

$$\Rightarrow (*) = e^{i(H_1+H_2)t} + L \cdot \mathcal{O}\left(\max(||H_1||, ||H_2||) \frac{t^2}{L^2}\right)$$

$$\Rightarrow \left\| e^{i(H_1+H_2)t} - \left( e^{iH_1 t/L} \cdot e^{iH_2 t/L} \right)^L \right\| \leq C \frac{t^2}{L}$$

$\downarrow L \rightarrow \infty$   
 $\square$

Bem. .) Für eff. Simulation:

$$\max(||H_1||, ||H_2||) = \mathcal{O}(\text{poly}(n))$$

.) Fehler  $\leq \varepsilon$  -gg.

$$\Rightarrow L = \mathcal{O}\left(C(H_1, H_2), \frac{t^2}{\varepsilon}\right)$$

.) hier: Splitting 1. Ordnung

höhere Ordnung auch möglich, z.B.

Strang Splitting

$$\left\| e^{iHt} - \left( e^{iH_1 t/(2L)} e^{iH_2 t/L} e^{iH_1 t/(2L)} \right)^L \right\| \leq C \frac{t^3}{L^2}$$

$$\Rightarrow L = \mathcal{O}\left(C \frac{t^{\frac{3}{2}}}{\varepsilon}\right)$$

Strong splitting: 2. Ordnung  
Methoden Ordnung p möglich

$$\sim L \in \Theta\left(t^{\frac{p+1}{p}} \varepsilon^{-\frac{1}{p}}\right) \subset \text{last linear int}^0$$

.) Falle k-local Ham. mit m-Termen:

$$\|e^{iHt} - \left(e^{iH_1 t/L} \cdot \dots \cdot e^{iH_m t/L}\right)^L\| \leq C \frac{m^2 t^2}{L}$$

.) Fehler Abschätzung rel. pessimistisch, in zw. besser  
Vorteil: einfach, braucht keine zus. Qubits

---

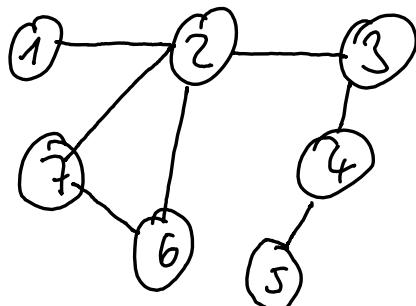
Essentielle Frage: Wie findet man Zerlegung

$$H = \sum H_i \quad ??$$

z.B. mittels Graphentheorie „graph coloring methods“

Def. Ein Graph  $G = (V, E)$  ist def. durch Knotenmenge  $V$  und Kanten  $E$ , die ungerichtete Paare von Knoten sind.

Bsp.



$$V = \{1, \dots, 7\}$$

$$E = \{(1,2), (2,3), (2,5), (2,7), (5,6), (3,4), (4,5)\}$$

Def.  $v_1, v_2 \in V$  heißen verbunden, wenn  $\exists e \in E$  s.d.  $e = (v_1, v_2)$ .

Der Grad eines Knotens  $v \in V$  ist  $\#\{v_i : (v, v_i) \in E\}$ .

Sei  $|V| = n$ . Dann kann ein Graph mittels seiner  $n \times n$ -adjacency matrix beschrieben werden:

$$A_{ij} = \begin{cases} 1 & \text{falls } i, j \in V : (i, j) \in E \\ 0 & \text{sonst} \end{cases}$$

Objiges Bsp.:

$$A = \begin{pmatrix} 0 & 1 & 0 & 0 & 0 & 0 & 0 \\ 1 & 0 & 1 & 0 & 0 & 1 & 1 \\ 0 & 1 & 0 & 1 & 0 & 0 & 0 \\ 0 & 0 & 1 & 0 & 1 & 0 & 0 \\ 0 & 0 & 0 & 1 & 0 & 0 & 0 \\ 0 & 1 & 0 & 0 & 0 & 0 & 1 \\ 0 & 1 & 0 & 0 & 0 & 1 & 0 \end{pmatrix}$$

graph coloring problem: gegeben  $k$  Farben, können alle Kanten  $E$  von  $G$  so eingefärbt werden, dass zwei Kanten, die einen Endpunkt teilen nie die gleiche Farbe haben?

Antwort: Vizing's Theorem:

Theorem Sei  $G = (V, E)$  ein Graph mit maximalem Grad der Knoten  $\delta$   
 $\Rightarrow \exists$  Lsg. für das gc-problem mit  $k \leq \delta + 1$

---

Anwendung auf Ham. Struk.:

1. Identifizierte  $H$  mit adj. matrix  $A$ :

$$A_{ij} = \begin{cases} 1 & \text{falls } H_{ij} \neq 0 \\ 0 & \text{falls } H_{ij} = 0 \end{cases}$$

$\rightarrow$  liefert zugehörigen Graph  $G$

2. Bestimme eine Einfärbung von  $G$  mit  $k$  Farben

3. zerlege  $G$  bzw.  $A$  anhand der Farben in Sub-Graphen

$$A = \sum_{c=1}^k A_c$$

Für allg.  $A \rightarrow$  unmöglich effizient realisierbar!  
→ verlange sparsity

Annahme  $A \in \mathbb{C}^{2^n \times 2^n}$  Hermitsch,  $\|A\| \leq 1$   
 $A$  sei s-sparse und wir haben sparse access  
zu den Matrix-Einträgen. D.h.:

- ) jede Zeile/Spalte von  $A$  hat max.  $s$  nicht-0 Einträge

- ) Wir haben query

$$O_A: |ij\rangle |0\rangle \mapsto |ij\rangle |A_{ij}\rangle$$

hier: hinteres Register groß genug, dass  $A_{ij} \in \mathbb{C}$   
exakt/hinreichend genau als Binärzahl geschr.

- ) Wir haben weitere query

$$O_C: |jl\rangle \mapsto |jv(j,l)\rangle$$

wobei  $v(j,l) \in \{0, \dots, N-1\}$  die Position des  $l$ -ten nicht-0 Eintrags in der  $j$ -ten Spalte von  $A$  ist.

- ) Wir können  $O_A^{-1}$ ,  $O_C^{-1}$  ausführen.

- Sparsity  $\rightarrow$  max. Größe des Graphen  $\leq s$
- Vizing Thm  $\rightarrow$  brauche max.  $s+1$  Farben
- Effizient berechenbare Einfärbung mit  $s^2$  Farben
- Matrizen  $A_C$  sind symmetrisch, 1-sparse
  - $\Rightarrow$  zugeh.  $H_C$  effizient simulierbar
  - da Matrizen in  $\Theta(1)$  diagonalisierbar
- Gesamt aufwand (naive Realisierung hier)
  - $\Theta(s^2 t^2 \text{poly}(n)/\epsilon)$

OBdA Diagonale immer  
 da  $H = \text{diag}(H) + \text{Rest}$   
 in  
 effizient ✓

Q: Wie wird „sparse access“ implementiert?

Bsp. circulant matrix

$$\begin{pmatrix} \alpha & \gamma & 0 & \dots & 0 \\ \beta & \alpha & \gamma & \ddots & | \\ 0 & \beta & \alpha & \ddots & \gamma \\ \vdots & \vdots & \ddots & \ddots & \ddots & \gamma \\ \gamma & 0 & \dots & \ddots & \beta & \alpha \end{pmatrix}$$

3-sparse

$$\cdot) r(j, l) = j + l - 1 \bmod N \quad l = 0, 1, 2$$

(hier Matrizen von O wegt  
indiziert)

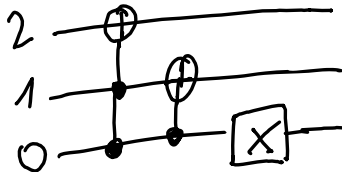
$$\rightarrow O_C: |j\rangle \mapsto \begin{cases} |j \bmod (j-1, N)\rangle & l=0 \\ |j\rangle & l=1 \\ |j \bmod (j+1, N)\rangle & l=2 \end{cases}$$

$\bmod(j \pm 1, N)$  können durch Shift Permutationen  
realisiert werden

$$R = \begin{pmatrix} 0 & 1 & & 0 \\ 1 & 0 & & \\ & & \ddots & \\ 0 & & & 0 \end{pmatrix} \quad L = \begin{pmatrix} 0 & & 0 & 1 \\ 1 & 0 & & \\ & & \ddots & \\ & & & 1 \end{pmatrix}$$

# Circuits:

$L$ :



(für 3 qubits)

( $X = \begin{pmatrix} 0 & 1 \\ 1 & 0 \end{pmatrix}$ ) bitflip

zu verstehen als Stellen in Binärdarst.

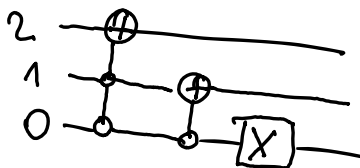
z.B.:  $|010\rangle \mapsto |011\rangle$   $\text{durch } 2 \mapsto 3$

$\begin{matrix} \uparrow & \uparrow & \uparrow \\ 1 & 0 & 0 \end{matrix} \quad \begin{matrix} \uparrow & \uparrow & \uparrow \\ 1 & 0 & 1 \end{matrix}$

$|111\rangle \mapsto |100\rangle$   $7 \mapsto 0$

---

$R$ :



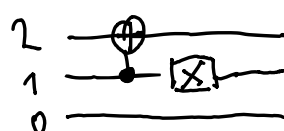
hier  $\oplus$  controlled NOT, aktiv wenn Kontrolle=0  
 $\oplus$  analog CCNOT, aktiv wenn beide = 0

---

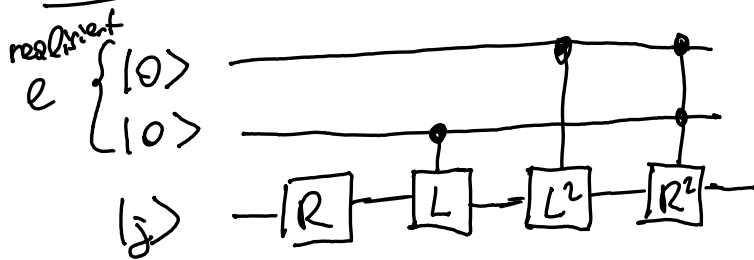
brauchen auch  $[L^2]$ ,  $[R^2]$

es ggf:  $\begin{matrix} 2 \\ 1 \\ 0 \end{matrix} \xrightarrow{\text{[L}^2\text{]}} \begin{matrix} 2 \\ 1 \\ 0 \end{matrix} = \begin{matrix} 2 \\ 1 \\ 0 \end{matrix} \xrightarrow{\text{[L]}} \begin{matrix} 2 \\ 1 \\ 0 \end{matrix}$

Analog für  $R^2$



# O<sub>C</sub> circuit:



•) R-Zeile für alle  $\ell$   $j \mapsto \text{med}(j-1, N)$

past for  $\ell=0$

also  $|00\rangle$

•) für  $\ell=1 \simeq |01\rangle$   $j \mapsto j$

→ mache R-Zeile mittels L-Zeile rückspiegel

•)  $\ell=2 \simeq |10\rangle$   $j \mapsto \text{med}(j+1, N)$

mache  $L^2$ -shift  $\Rightarrow RL^2 = L$ -shift

•)  $\ell=3 \simeq |11\rangle$  ... entspricht 0-Einträgen

→ mache  $R^2$ -shift um  $L^2$ -shift umzuklappen

## $O_A$ Circuit

generell: controlled rotations: unitäre Op.

$$U_\theta: |\theta\rangle = |0\rangle \mapsto |\theta\rangle = (\cos(\pi\theta)|0\rangle + \sin(\pi\theta)|1\rangle)$$

$\uparrow$        $\uparrow$   
 Kontrolle    Ziel

hier:  $\theta \in [-1, 1]$ , Ann.  $\theta = \theta_0 \cdot 2^{-1} + \theta_1 \cdot 2^{-2} + \dots + \theta_{d-1} \cdot 2^{-(d-1)}$   
 exakte Binärdarst.

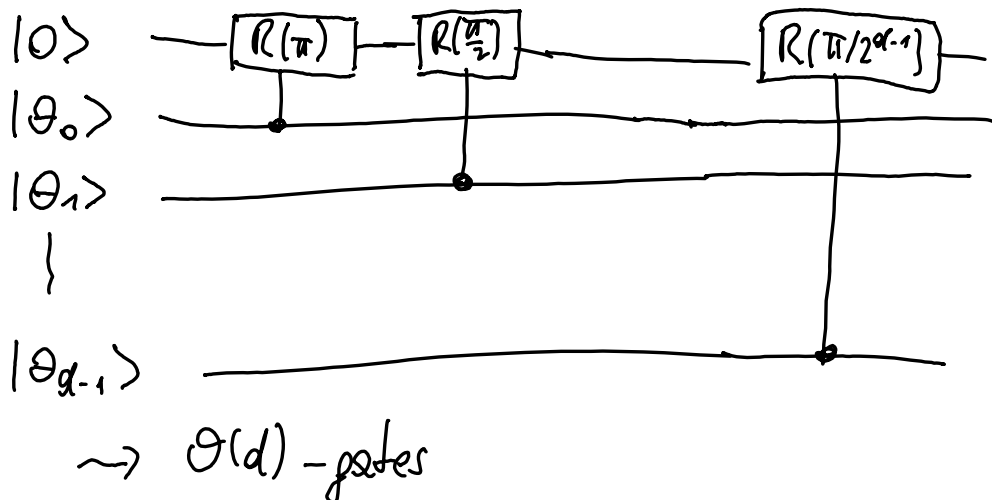
für  $|\theta\rangle = |0\rangle \rightsquigarrow$  Output  $|0\rangle|0\rangle$   
 $|\theta\rangle = |1\rangle \rightsquigarrow$  Drehung um  $\pi\theta \rightarrow$  Matrix  $\begin{pmatrix} \cos J & -\sin J \\ \sin J & \cos J \end{pmatrix}$

Schreibweise



$\approx 1\text{-qubit Rotation}$   
 um y-Achse

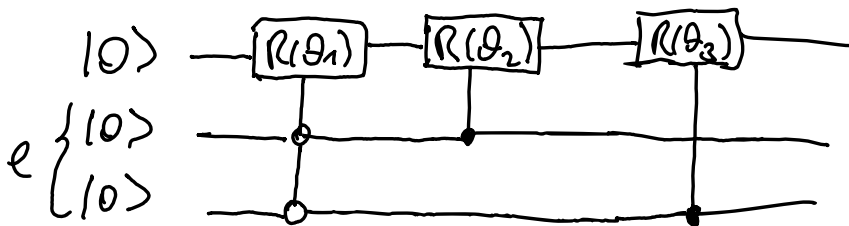
## Implementierung



$\sim$  generiere Wert  $\mathcal{L}^{[0,1]}$  mittels Rotationen

um Winkel  $\theta_1 = \arccos \alpha \cdot \frac{\pi}{\pi}$

analog  $\sim \theta_2 = \frac{1}{\pi} \arccos(\beta)$ ,  $\theta_3 = \frac{1}{\pi} \arccos(\gamma)$



$\ell=0 \sim \alpha$ ,  $\ell=1 \sim \beta$ ,  $\ell=2 \sim \gamma$

---

Modifikation für 3-qbg Matrix:

füge 2 zusätzliche Rotationen  $R(\theta_4), R(\theta_5)$

hinten, die Elemente  $A_{1n}$  bzw  $A_{n1}$  auf 0  
zurücksetzen

$\sim$  brauche 1 control Qubit mehr

## Einlesen der rechten Seite

gegeben  $b \in \mathbb{R}^N$ , Ziel:  $\|b\| := \frac{\sum |b_i|}{\|b\|_2}$

in  $\Theta(\log N)$  (bzw  $\tilde{\Theta}(N)$  mit  $\tilde{b} = b$  bis auf machine prec.)

mögliche Lsg: quantum RAM (qRAM)

Klassische Datenstruktur auf die mit Überlegungen von q-Zuständen zu prüfen werden kann.

---

oBdA  $\|b\|_2 = 1$  da das erste Zahl

→ kann mittels Binärdarst. eingelesen werden

---

divide and conquer - Idee → spätere

$x$  in Binärbaum  $B_x$

$$\text{Wurzel } \sqrt{\sum_{i=1}^N x_i^2} = 1$$

Tiefe  $\log N = n$

Blätter  $(x_i^?, s_{\text{px}_i})$

Level

1

$$N \sum_{i=1}^N x_i^2 = 1$$

2

$$\frac{N}{2} \sum_{i=1}^{N/2} x_i^2$$

$$\frac{N}{2} \sum_{i=\frac{N}{2}+1}^N x_i^2$$

3

$$\frac{N}{4} \sum_{i=1}^{N/4} x_i^2$$

$$\frac{N}{4} \sum_{i=N/4+1}^{N/2} x_i^2$$

:

$$N-1 \quad x_1^2 + x_2^2$$

$$n \quad (x_1^2, \text{sgn}(x_1))$$

$$(x_2^2, \text{sgn}(x_2))$$

- - -

$$(x_N^2, \text{sgn } x_N)$$

Anm..) Jeder Knoten ist Summe der Kinder  
(zusätzliche sgn. Information im Blatt ignoriert)

.) Vektoren wird gelegten: Läuft durch Baum  
von Wurzel weg, fügt wenn nötig neue Register hinzu, verwendet controlled rotation,  
um Werte in den jeweiligen Nodes zu  
realisieren

-)  $B_X$  hat  $\Theta(N)$  Knoten

Ann.: ist pre-computed (kein wach)  
↳ convenient in afterward...

## Algorithmus (lange Vektor aus QRAM)

% input:  $x \in \mathbb{R}^N$  prep. im Baum  $B_X$

% output:  $|x\rangle$

Initialisiere  $n$ -qubits  $|0\ldots 0\rangle$ , best. mit  $|q_1\rangle, |q_n\rangle$

$v = \text{root}(B_X)$ , call  $\text{processNode}(v)$

$\text{processNode}(\text{vertex } v)$

$v_e, v_r \leftarrow \text{Kinder}(v)$

$$\theta = \arccos \sqrt{\frac{v_e}{v}}$$

Controlled Rotation  $|q_k\rangle = \cos \theta |0\rangle + \sin \theta |1\rangle$

falls qubits  $|e_1\rangle, |q_{k-1}\rangle \simeq$  Binärzust. von  $v$

if  $v_e, v_r \in B$  (oder

$|q_k\rangle = \text{processSign}(e_k, v_e, v_r)$

return

else

$\text{processNode}(v_e)$

$\text{processNode}(v_r)$

end

end

procesSion ( $q_k, v_L, v_R$ )

if  $s_{\text{gn}}(v_L) = s_{\text{gn}}(v_R) = +1$  return  $q_k$

if  $\dots = -1$  return  $-q_k$

if  $s_{\text{gn}}(v_L) = 1, s_{\text{gn}}(v_R) = -1$  return  $2q_k$

if  $s_{\text{gn}}(v_L) = -1, s_{\text{gn}}(v_R) = 1$  return  $-2q_k$

end

2.. phase  
flip

---

Lemme Falls  $x \in \mathbb{R}^N$  vorbereichert

$\Rightarrow$  Alg. erzeugt Zustand  $|x\rangle = \sum_{i=1}^N x_i |i\rangle$

in  $\Theta(n) = \Theta(\log N)$ .

---

Beweis.) Zeige Alg. erzeugt tatsächlich  $|x\rangle$

Alg.  $\rightarrow$  wandere durch Baum, multipliziere

Knoten  $v_k$  mit  $\sqrt{\frac{v_k}{v_{k-1}}}$ , Blatt  $i$  noch mit signum

$$\Rightarrow \prod_{k=2}^n \sqrt{\frac{v_k}{v_{k-1}}} s_{\text{gn}}(x_i) = \underbrace{\sqrt{\frac{v_n}{v_1}}}_{\frac{x_i}{\sqrt{2}}} s_{\text{gn}}(x_i) = x_i$$

✓

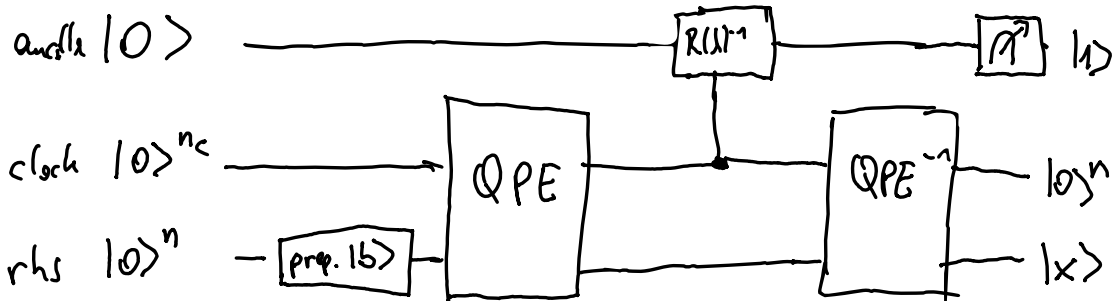
Laufzeit:  $2^k$  Rotationen (in  $\Theta(1)$ ) auf Level k  
passiert parallel  $\rightarrow$  kontrollierte Op.  
auf selben Qubit ?  
(Kontrolle checkt binär-Repr.  
von Verkettung)  
 $\rightarrow \# \text{ Levels} = n = \log N$  beschr. Aufwand

Aber: Annahme  $Bx$  precomputed signifikant ?  
kann Speedup ruinieren ?

Zumindest: Lemma zeigt: kann dann  $|b\rangle$  und  
auch Kopien von  $|b\rangle$  ( $0$ ) schnell erzeugen

# L(HL revised

Circuit



1. best.  $|b\rangle$  (z.B QRAM)

mit  $n = \log N$  qubits um  $|b\rangle$  darzustellen

2. Wende Quantum Phase Estimation an auf

$$|0\rangle |b\rangle = \sum_{j=0}^{N-1} \beta_j |0\rangle |v_j\rangle \quad (\text{h.z. } |b\rangle = |\psi\rangle^{nc})$$

$$\text{mit } U = e^{-iA}$$

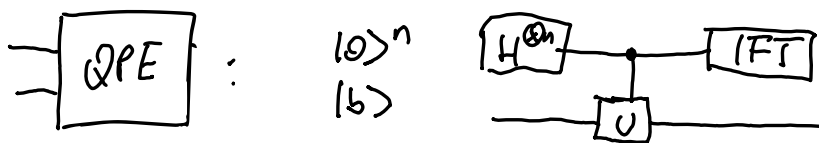
benötigt:  $H^{\otimes n_c}$  ✓

$$U^{2^j} \quad j=0, \dots, n_c-1 \quad \text{Ham. Schr. ✓}$$

1 QFT  $\rightarrow \Theta(n^2)$ -gates ✓

liefert: Approx. zu EWen von A (nicht von U-gest.)

Approx., da in QPE angenommen:  $\lambda_j$  hat exakte Binärdarst. mit  $n_c$ -qubits



realisiert  $|j\rangle|1\rangle \mapsto \frac{1}{\sqrt{N}} \sum_{j=0}^{N-1} e^{2\pi i j / N} |j\rangle|1\rangle$  mit  $\lambda \in \mathbb{C}$  zu EV  $\psi$

$\Rightarrow$  Anwendung auf  $|b\rangle$  von QPE: Zustand

$$|0\rangle|b\rangle \mapsto \sum_j \beta_j |\tilde{\lambda}_j\rangle|\psi_j\rangle$$

$\uparrow$   
binär-Rep. von  $\lambda_j$

3. Controlled rotation: füge Ancilla qubit hinzu und drehe um Winkel  $(\text{Dreh. mit } R_y(2S) \text{ definiert})$

$$\frac{\Theta}{2} = \arcsin\left(\frac{C}{\lambda_j}\right)$$

$$\Rightarrow \sum_j \beta_j |\tilde{\lambda}_j\rangle|\psi_j\rangle \left( \sqrt{1 - \frac{C^2}{\lambda_j^2}} |0\rangle + \frac{C}{\lambda_j} |1\rangle \right)$$

hier: C.. Konstante s.d.

$$C \leq \min |\lambda_j| = \Theta\left(\frac{1}{k}\right)$$

Bem.:  $\arcsin(\lambda)$  kann mit  $\Theta(\text{poly}(n))$  elementaren gates (approx.) realisiert werden  
 → Literatur

4. Inverse QPE "uncomputing": Zustand

$$\sum_{j=0}^{N-1} \beta_j |0\rangle |v_j\rangle \left( \sqrt{1 - \frac{c^2}{\tilde{x}_j^2}} |0\rangle + \frac{c}{\tilde{x}_j} |1\rangle \right)$$

5. Messen des letzten Qubits

Falls Ergebnis  $|1\rangle \Rightarrow$  Zustand

$$C \sum_{j=0}^{N-1} \frac{\beta_j}{\tilde{x}_j} |0\rangle |v_j\rangle$$

proport. zu  $|\tilde{x}\rangle$

Wahrsch.  $|1\rangle$  zu messen:

$$\frac{1}{\sqrt{\sum_{j=0}^{N-1} C^2 |\beta_j|^2 / \tilde{x}_j^2}}$$

Bem.: Normalisierungskonstante kürzt C

→ tritt nicht in Lsg. auf, aber sehr wohl  
 in der Erfolgswahrsch.

# Quantum composer Bsp

$$A = \begin{pmatrix} 1 & -\frac{1}{3} \\ -\frac{1}{3} & 1 \end{pmatrix} \quad b = \begin{pmatrix} 0 \\ 1 \end{pmatrix} \quad 1\text{-qubit System}$$

(Sg. von  $Ax=b \rightarrow x = \frac{1}{8} \begin{pmatrix} 3 \\ 1 \end{pmatrix}$ )

EW/EV von A:  $\lambda_0 = \frac{2}{3}, \lambda_1 = \frac{4}{3}$

$$v_0 = \frac{1}{\sqrt{2}} \begin{pmatrix} -1 \\ -1 \end{pmatrix} \quad v_1 = \frac{1}{\sqrt{2}} \begin{pmatrix} -1 \\ 1 \end{pmatrix}$$

breche  $U = e^{iAt}$   $U^2 = e^{i2At}$  wähle  $t = \frac{3\pi}{4}$   
 ~exakte Binärdarst.

für EW in QPE mit 2 qubits

$$U = \frac{1}{\sqrt{2}} \begin{pmatrix} -1 & -1 \\ -1 & 1 \end{pmatrix} \underbrace{\begin{pmatrix} e^{i0t} & 0 \\ 0 & e^{i4t} \end{pmatrix}}_{\begin{pmatrix} i & 0 \\ 0 & -1 \end{pmatrix}} \frac{1}{\sqrt{2}} \begin{pmatrix} -1 & -1 \\ -1 & 1 \end{pmatrix}$$

$$= \frac{1}{2} \begin{pmatrix} -1+i & 1+i \\ 1+i & -1+i \end{pmatrix}$$

analog  $U^2 = \begin{pmatrix} 0 & -1 \\ -1 & 0 \end{pmatrix}$

Implementiert mit 4-Parameter unitary  
Date in (BM-Q) :

$$U = \begin{pmatrix} e^{i\gamma} \cos(\theta/2) & -e^{i(\delta+\lambda)} \sin(\theta/2) \\ e^{i(\delta+\lambda)} \sin(\theta/2) & e^{i(\delta+\lambda+1)} \cos(\theta/2) \end{pmatrix}$$

$$\rightarrow \Theta = \frac{\pi}{2}, \varphi = -\frac{\pi}{2}, \lambda = \frac{\pi}{2}, \gamma = \frac{3\pi}{4} \quad \text{für } U$$

$$\Theta = \pi, \varphi = \pi, \lambda = 0, \gamma = 0 \quad \text{für } U^2$$


---

### Controlled rotation

$$\text{EWc aus QPE} \quad \tilde{\lambda}_j = N \lambda_j + 1/2\pi$$

$$\rightarrow \tilde{\lambda}_0 = 1 \quad \tilde{\lambda}_1 = 2$$

$\rightarrow$  kann Konstante  $C=1$  wählen

$$\rightarrow \Theta_1 = 2 \arcsin\left(\frac{1}{\tilde{\lambda}_1}\right) = \pi$$

$$\Theta_2 = 2 \arcsin\left(\frac{1}{\tilde{\lambda}_0}\right) = \frac{\pi}{3}$$


---

Resultat: bekannte normierte Wahrscheinlichkeiten

zust.	p
00>	0.1875
01>	0.0625
10>	0.1875
11>	0.5625

cond.  
Messung  
(von Ancilla)  
 $|0>$  mit  $P = \frac{1}{10}$   
 $|1>$  mit  $P = \frac{9}{10}$

— nur relevant, da ancilla |1> gemessen werden muss

Wahrsch.: Verhältnis 1:9

$$\text{Norm. Lös: } |x> = \frac{3}{10}|0> + \frac{9}{\sqrt{90}}|1>$$

Ergebnis

# Fehler- und Komplexitätsanalyse

bisherige Ann.: alle Größen haben exakte Binärdarst.

i.d. nicht möglich für EW von A

→ Phase estimation produziert EWs  $\tilde{\lambda}_j$  mit

$$|\tilde{\lambda}_j - \lambda_j| \leq \delta$$

mit Wahrsch.  $1 - \frac{1}{\text{polyn}}$  mit

Laufzeit  $\mathcal{O}(T_U \text{poly}(n) / \delta)$  wobei

$T_U$  - Rechenzeit für Impf. von  $U = e^{iA}$

Problem: numerische Stabilität von  $\lambda_j \mapsto 1/\lambda_j$   
mit centr. Rotation

Falls  $\lambda_j \approx 0 \rightarrow$  kleine Störung  $\tilde{\lambda}_j = \lambda_j + \varepsilon$

→ großer Effekt auf Fehler:

$$\left| \frac{1}{\lambda_j} - \frac{1}{\tilde{\lambda}_j} \right| = \left| \frac{\varepsilon}{\lambda_j(\lambda_j + \varepsilon)} \right| \simeq \frac{\varepsilon}{\lambda_j^2}$$

→ Problem mit schlechter Konditionszahl K von  $A_D^D$   
S.p.n. größer als  $\varepsilon_0^0$

## Lösung: Filterfunktionen

Invertiere EWe nur sofern  $\lambda \geq \frac{1}{K}$   $K \in \mathbb{N}_{\text{Kad. Zahl}}$

$$\Rightarrow f(\lambda) = 0 \quad \text{für } \lambda < \frac{1}{2K}$$

für große EW  $\sim \frac{1}{\lambda}$

$$\Rightarrow f(\lambda) = \frac{1}{2K\lambda} \quad \lambda \geq \frac{1}{K}$$

dazwischen interpolieren (für num. StS.)

$$f(\lambda) = \frac{1}{2} \sin \left( \frac{\pi}{2} \cdot (2K\lambda - 1) \right) \quad \frac{1}{2K} \leq \lambda < \frac{1}{K}$$

$\Rightarrow$  f stetig

analog umgeh. Filter

$$f(\lambda) = \begin{cases} 0 & \lambda \geq \frac{1}{K} \\ \frac{1}{2} \cos \left( \frac{\pi}{2} (2K\lambda - 1) \right) & \frac{1}{K} > \lambda > \frac{1}{2K} \\ \frac{1}{2} & \frac{1}{2K} \geq \lambda \end{cases}$$

$\Rightarrow$  p-stetig und  $f^2(\lambda) + g^2(\lambda) \leq 1 \quad \forall \lambda$

Au<sup>u</sup>m: nur eine Wahl, nicht eindeutig,

auch Abschneiden bei  $\frac{1}{2K}$  kann wünschenswert sein

stetig controlled rotation füge

3-qubit register hinzu

also keine Inversion durchgeführt.

$$|h(\tilde{\lambda}_j)\rangle := \sqrt{1 - f(\tilde{\lambda}_j)^2 - g(\tilde{\lambda}_j)^2} |nothing\rangle + \\ f(\tilde{\lambda}_j) |well\rangle + g(\tilde{\lambda}_j) |ill\rangle$$

↓  
hier EWE  
invertiert

↓  
Teile von  
IS im schlechten Kas.  
TR von A

dann nach  $(QPE)^{-1}$  und Messen von  $|well\rangle$

---

$$\text{prob: Endzustand} \approx \sum_{\substack{j: \lambda_j \geq \frac{1}{k}}} \lambda_j^{-1} \beta_j |u_j\rangle |well\rangle \\ + \sum_{\substack{j: \lambda_j < \frac{1}{k}}} \beta_j |u_j\rangle |ill\rangle$$

---

Lemma Die Abb.  $\lambda \mapsto |h(\lambda)\rangle$  ist Lipschitz stetig mit  $L = O(K)$ , i.e.:

$$\| |h(\lambda_i)\rangle - |h(\lambda_j)\rangle \|_2 \leq C K |\lambda_i - \lambda_j|$$

Bew: Elementar durch Abschätzen der Abb.  
von  $f, g$  (expl. berechnen  $\lambda_0$ )

□

Ziel: Fehlenschätz. für insazkde QPE nach gefilterter Inversion aller EW

$$\text{exakt: } |\Psi\rangle := \sum \beta_i |v_i\rangle |h(\lambda_i)\rangle$$

$$\text{approx.: } |\tilde{\Psi}\rangle := \sum \beta_i |v_i\rangle |h(\tilde{\lambda}_i)\rangle$$

$$\Rightarrow \| |\Psi\rangle - |\tilde{\Psi}\rangle \|_2^2 = \| |\Psi\rangle \|_2^2 + \| |\tilde{\Psi}\rangle \|_2^2 - 2 \operatorname{Re} \langle \Psi | \tilde{\Psi} \rangle$$

$$= 2 \underbrace{\left( 1 - \operatorname{Re} \langle \Psi | \tilde{\Psi} \rangle \right)}_{\in [0,1] \text{ (C.s.)}}$$

$$\Rightarrow \operatorname{Re} \langle \Psi | \tilde{\Psi} \rangle = \sum_{\substack{i=1 \\ v_i \text{ QNB}}}^N |\beta_i|^2 \operatorname{Re} \langle h(\lambda_i) | h(\tilde{\lambda}_i) \rangle$$

$$\text{Lemma} \Rightarrow \operatorname{Re} \langle h(\lambda_i) | h(\tilde{\lambda}_i) \rangle \geq 1 - \frac{c^2 K^2}{2} |\lambda_i - \tilde{\lambda}_i|^2$$

$$\geq 1 - \frac{c^2 K^2 \delta^2}{2}$$

↑  
Fehler pro EW  $\leq \delta$

$$\hookrightarrow \underbrace{\sum_{i=1}^N |\beta_i|^2}_{=1} c^2 K^2 \delta^2$$

$$\Rightarrow \| |\Psi\rangle - |\tilde{\Psi}\rangle \|_2 \leq C K \delta$$

Für Fehler  $\Theta(\epsilon)$

$\hookrightarrow$  Phase estimation Fehler  $\delta = \Theta\left(\frac{\epsilon}{K}\right)$

$\hookrightarrow$  Runtime  $\Theta(K \text{poly}(n)/\epsilon)$

---

Messung: möchte  $A_{\text{nc}}((x|1))$  (wohlkond. A)  
 $A_{\text{nc}}((x|\text{well}))$  (genaueres A)

$\sim$  Erfolgswahrsch

$$p \geq \sum_{i: |\lambda_i| \geq 1/K} |\beta_i|^2 \left| \frac{1}{\lambda_i K} \right|^2 = \Theta\left(\frac{1}{K^2}\right)$$

↑ note:  $\sum \frac{|\beta_i|^2}{|\lambda_i|^2} \leq \|A^{-1}S\|^2$

kann mittels „amplitude amplification“  
(vgl. Grover - Algorithmus) auf  $\Theta\left(\frac{1}{K}\right)$   
verbessert werden

$\Rightarrow \Theta(K)$  von prozedur nötig, um  
(well) mit bef. hohen Wahrsch. zu  
erhalten

## Gesamt aufwand:

•) state prep.:  $\Theta(n)$

(falls QRAM  
precomputed)

•) Hamiltonian Simulation:

$e^{iAt}$  wenn  $A$   $s$ -sparse bis auf Fehler  $\epsilon$  in  
 $\Theta(n^{\frac{1}{2}} \text{poly}(\log \frac{s t}{\epsilon}))$

(bestes Resultat in Literatur, einfache Methoden  
(in VO vorgestellt  $\Theta(n^{\frac{1}{2}} t^2 / \epsilon)$ )

•) QPE  $\Theta(\text{poly}(n) K / \epsilon \cdot T_U)$

•) Ampl. amp.  $\Theta(K)$

$\Rightarrow \Theta(\text{poly}(n) K^2 s / \epsilon \cdot \text{poly}(\log \frac{s}{\epsilon}))$

vgl. CG:

$\mathcal{O}(\exp(n) s \sqrt{K} \ln(\frac{2}{\epsilon}))$

besser in  $n$  aber schlechter in  $K, \epsilon$

Exp. speedup?

↳ Verbesserbar??

## Verbesserung des HHL-Algorithmus

CG: Komplexität vs. Genauigkeit  $\mathcal{O}(\log \frac{1}{\epsilon})$

HHL: wegen QPE  $\rightarrow \mathcal{O}(\frac{1}{\epsilon})$

Ziel: q-LGS Algorithmus mit ebenfalls log. Abh. von  $\epsilon^{-1}$ , immer noch exp. Speedup in N

Idee: Approximiere  $A^{-1}$  direkt

vgl. Cayley-Hamilton Theorem:

P.-char. Polynom von A  $\Rightarrow p(A) = 0$

$$\stackrel{\text{def}}{=} P_N \Rightarrow A^N + d_{N-1} A^{N-1} + \dots + d_0 I = 0 \quad \text{d. G. C}$$

$$\Leftrightarrow A^{-1} = -\frac{1}{d_0} \cdot (d_1 I + \dots + d_{N-1} A^{N-2} + A^{N-1})$$

$$= P_{N-1}(A)$$

Berechnung von  $d_i$  zu teuer, aber

ev.  $\exists$  Polynom  $q_m \in \mathbb{P}_m$  mit  $m < N-1$

$$\text{s.d. } A^{-1} \approx q_m(A)$$

und  $q_m(A)$  ist eff. implementierbar

2 Mögl.: 1. trigonometrische Polynome  $\sim$  Fourier Approx.  $\rightarrow$  unitär

2. Chebyshev Polynome  $\hookrightarrow$  minimieren  $\|q_m(A)\|_2$

Q: Wie wirkt sich approx. der Matrix auf Endzustand aus?

Lemma Sei  $B$  hermitisch mit  $\|B^{-1}\| \leq 1$  und  $D$  so dass  $\|B-D\| \leq \varepsilon < \frac{1}{2}$   
 $\Rightarrow$  Zustände  $|x\rangle := \frac{|B|\psi\rangle}{\|B|\psi\rangle\|}$  und  $|\tilde{x}\rangle := \frac{|D|\psi\rangle}{\|D|\psi\rangle\|}$  erfüllen  $\||x\rangle - |\tilde{x}\rangle\| \leq 4\varepsilon$

Beweis: S-Ungl. :

$$\begin{aligned} \| |x\rangle - |\tilde{x}\rangle \| &= \left\| \frac{|B|\psi\rangle}{\|B|\psi\rangle\|} - \frac{|D|\psi\rangle}{\|D|\psi\rangle\|} \right\| \\ &\leq \underbrace{\left\| \frac{|B|\psi\rangle}{\|B|\psi\rangle\|} - \frac{|B|\psi\rangle}{\|D|\psi\rangle\|} \right\|}_{\leq \frac{\|B|\psi\rangle\| - \|D|\psi\rangle\|}{\|D|\psi\rangle\|}} + \frac{1}{\|D|\psi\rangle\|} \| |B|\psi\rangle - |D|\psi\rangle \| \\ &\leq \frac{\|D|\psi\rangle\| - \|B|\psi\rangle\|}{\|D|\psi\rangle\|} \end{aligned}$$

Nochmal S-Ungl. :

$$1 \leq \| |B|\psi\rangle \| \leq \| |D|\psi\rangle \| + \| (B-D)|\psi\rangle \| \leq \| |D|\psi\rangle \| + \varepsilon$$

↑  
by ass.

$$\Rightarrow \underbrace{\text{beide Terme}}_{\leq \frac{\varepsilon}{\|D|\psi\rangle\|} + \frac{\varepsilon}{\|D|\psi\rangle\|}} \leq 2 \frac{\varepsilon}{1-\varepsilon} \leq 4\varepsilon \quad \square$$

$\Rightarrow$  wende Lemma mit  $B = A^{-1}$  und  $D \approx A^{-1}$  an

### Fourier approach

Approximiere  $A^{-1} \approx \sum_j d_j e^{-i A t_j}$   $d_j, t_j \in \mathbb{R}$

also durch Linearkomb. von unitären Op. (LCU)

Z Fragen: 1.) Wie genau sieht die Approx. aus?

→ Ist diese effizient implementierbar?

### Implementierung von LCU

o BzDA  $d_j > 0$  da Phase sowieso nicht messbar

Ziel: Impl. von  $M = \sum_j d_j U_j$ , wobei  $U_j$  unitär  
 $M$  nich unbestigt

Lemma Sei  $M = \sum_j d_j U_j$  m:  $t d_j > 0$ ,  $U_j$  unitär  
und  $V$  Abb.  $V |0^m\rangle := \frac{1}{\sqrt{d}} \sum_j \sqrt{d_j} |j\rangle$  mit  $t d_j \geq \sum_i d_i$

sowie  $U := \sum_j |j\rangle \langle j| \otimes U_j$

$\Rightarrow V^H U V = W$  erfüllt

$$W |0^m\rangle |\psi\rangle = \frac{1}{\sqrt{d}} |0^m\rangle M |\psi\rangle + |\phi^\perp\rangle$$

H zust.  $|\psi\rangle$  wobei  $(|0^m\rangle \langle 0^m| \otimes I) |\phi^\perp\rangle =: \Pi |\phi^\perp\rangle$

Also: 1. Term realisiert  $M$  (nachdem  $A^{-1}$ )  
 2. Term orthogonal zu  $|0^n\rangle$  im 1. Register

$\Rightarrow$  Messen von  $|0^n\rangle$  im 1. Reg.  $\rightarrow$  impl. von  $M$

$$\text{Beweis: } W(|0^n\rangle|1\rangle) = V^H \left( \frac{1}{\sqrt{2}} \sum_j \sqrt{\alpha_j} |j\rangle |1\rangle \right)$$

$$\stackrel{\text{select } U_j}{=} V^H \left( \frac{1}{\sqrt{2}} \sum_j \sqrt{\alpha_j} |j\rangle |U_j\rangle |1\rangle \right)$$

$$= \underbrace{\Pi V^H (\quad)}_{\text{---}} + \underbrace{(\mathbb{I} - \Pi) V^H (\quad)}_{\text{---}}$$

$$(|0^n\rangle \otimes \mathbb{I}) \left( \frac{1}{\sqrt{2}} \sum_j \sqrt{\alpha_j} |j\rangle |1\rangle \otimes \mathbb{I} \right) |\phi^\perp\rangle \text{ da } \Pi(\mathbb{I} - \Pi) = 0$$

da  $\Pi$  1.Reg. auf  $|0^n\rangle$  Proj.  
 und aus Def. von  $V^H$

$$\Rightarrow = \frac{1}{\sqrt{2}} |0^n\rangle \sum_j \sqrt{\alpha_j} |U_j\rangle |1\rangle + |\phi^\perp\rangle$$

□

.) U<sub>-</sub> „select U“, wählt U<sub>i</sub> anhand von  
Kontrollregister aus

.) Erfolgswahrsch.  $\frac{\|M|\psi\rangle\|^2}{d^2}$

Unsere Anwendung  $\rightarrow M = A^{-1}, |\psi\rangle = |b\rangle$

mit QRAM: multiple  $|b\rangle$ -Preparation möglich

$\hookrightarrow$  Amplitude amplification möglich  
(Drehung von  $|b\rangle$ )  $\Rightarrow$  quadratischen Speedup

hohe Wahrsch. in  $\mathcal{O}\left(\frac{d}{\|M|\psi\rangle\|}\right)$

Wiederholungen

.) V<sub>-</sub> unter einer impl.

.) falls unitäre Op. U<sub>i</sub> einfach implementierbar  
und Zerlegung  $\mathcal{O}(\log N)$ -Terme  
 $\hookrightarrow$  eff. Impl. von M

.) Query-Komplexität von U  $\simeq$  Query-Kompl.  
der teuersten U<sub>j</sub>

für Gate-Komplexität i. A. nicht so gut!

aber: für spez. Anwendungen, da  $U_j = \left(e^{-iA}\right)^{t_j}$  überall gleich

$$\text{Diagonalisierung} \quad A = T^H D T$$

$$\Rightarrow T^H D^{-1} T = A^{-1} \approx \sum_j \lambda_j e^{-i A t_j}$$

$$= T^H \sum_j \lambda_j e^{-i D t_j} T$$

da  $D = \text{diag}(\lambda_j) \Rightarrow$  brauche nur Entwicklung von

$$f(x) = \frac{1}{x} \approx \sum_j \lambda_j e^{-i x t_j}$$

für  $x \in \sigma(A)$  bzw.  $x \in \mathbb{R} \setminus \sigma(A)$

wie bei HHL  $\rightsquigarrow$  betrachte nur gut konditionierte EWE ( $\geq \frac{1}{K}$ ), verlängere auch  $t_{\max} = 1$  (Skalierung)

$\rightsquigarrow$  suche Approx. an  $f$  auf  $D_K := [-1, 1] \setminus [-\frac{1}{K}, \frac{1}{K}]$

Idee: 1) Plotte  $f$  um 0

2) Fouriertransfo (Integral)

3) Ersetze Integral durch endl. Summe

$\rightarrow$  Funktion  $h$  der Form  $\sum_j \lambda_j e^{-i x t_j}$  mit

$$\sup_{x \in D_K} |f(x) - h(x)| \leq C \epsilon$$

$\rightarrow$  Vorerstige Lemma  $\Rightarrow h(A) |x\rangle$  (+ Normierung) ist Approx. an  $|x\rangle$

Lemme Die Funktion

$$h(x) := \frac{i}{\sqrt{2\pi}} \sum_{j=0}^{J-1} \sum_{k=-K}^K \Delta_y \Delta_z z_k e^{-\frac{z_k^2}{2}} e^{-ixy_j z_k}$$

mit  $y_j := j \Delta_y$ ,  $z_k := k \Delta_z$  und  $J = \mathcal{O}\left(\frac{K}{\varepsilon} \log \frac{K}{\varepsilon}\right)$ ,  
 $K = \mathcal{O}(K \log \frac{K}{\varepsilon})$ ,  $\Delta_y = \mathcal{O}\left(\frac{\varepsilon}{\sqrt{\log(K/\varepsilon)}}\right)$ ,  $\Delta_z = \mathcal{O}\left(\frac{1}{K \log \frac{K}{\varepsilon}}\right)$

erfüllt

$$\sup_{x \in D_K} |h(x) - \frac{1}{x}| \leq C\varepsilon$$

---

Bew: Sei  $f(y) = ye^{-\frac{y^2}{2}}$

Subst.  
 $\Rightarrow \frac{1}{x} = \int_0^\infty f(xy) dy$  da  $\int_0^\infty f(y) dy = 1$

Wahl von  $f \Rightarrow$  klingt schnell ab, platt und

$F(f) = -if$  (so Eigenfkt. von  
Fourier trifo zu EW  $-i$ )

$$\Rightarrow f = if = \frac{i}{\sqrt{2\pi}} \int_{\mathbb{R}} ze^{-\frac{z^2}{2}} e^{-ixyz} dz$$

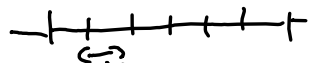
$$\Rightarrow \frac{1}{x} = \frac{i}{\sqrt{2\pi}} \int_0^\infty \int_{-\infty}^\infty ze^{-\frac{z^2}{2}} e^{-ixyz} dz dy$$

$\leadsto h(x)$  ist Riemann Summe zu Abschnittsintervallen  
in Formel für  $\frac{1}{x}$

1. Schritt: Summation / Integr. in y: in  $h \sim$  geom. Reihe

$$h(x) = \frac{i \Delta y}{\sqrt{2\pi}} \sum_{k=-K}^K \Delta_z z_k e^{-\frac{z_k^2}{2}} \frac{1 - e^{-ix\sqrt{2}\Delta y z_k}}{1 - e^{-ix\Delta y z_k}}$$

$$\frac{1}{x} = \frac{1}{\sqrt{2\pi}} \cdot \frac{1}{x} \int_{-\infty}^{\infty} e^{-\frac{z^2}{2}} dz$$



2. Schritt: Approx von Gitterweite durch Reihe ( $\infty$ -Riemann Summe)

$$\left| \frac{1}{x} \cdot \left( 1 - \frac{1}{\sqrt{2\pi}} \sum_{k=-\infty}^{\infty} \Delta_z e^{-\frac{(2\pi k)^2}{2}} \right) \right|$$

Poisson'sche

Summenformel

$$\sum_{k=-\infty}^{\infty} f(k) = \sqrt{2\pi} \sum_{k=-\infty}^{\infty} f(2\pi k)$$

$$= \sum_{k=-\infty}^{\infty} e^{-\frac{(2\pi k)^2}{\Delta z^2}/2} = 1 + \sum_{|k| \geq 1} e^{-\frac{(2\pi k)^2}{\Delta z^2}/2}$$

geom. Reihe

$$\Rightarrow \leq \frac{1}{|x|} \cdot 2 \sum_{k=1}^{\infty} e^{-\frac{2\pi^2 k}{\Delta z^2}} \downarrow = \frac{1}{|x|} \frac{2}{e^{2\pi^2/\Delta z^2} - 1}$$

$$\leq C K \cdot \varepsilon e^{-K^2 \log K}$$

$$\leq \tilde{C} \varepsilon$$

nach Wahl von  $\Delta z$   
und mit  $\frac{1}{|x|} \leq K$

3. Schritt: Reihe abschneiden

$$\Rightarrow \left| \frac{1}{\sqrt{2\pi}x} \cdot \left( \sum_{k=-\infty}^{\infty} \Delta z \cdot e^{-\frac{z_k^2}{2}} - \sum_{k=-K}^{K} \Delta z \cdot e^{-\frac{z_k^2}{2}} (1 - e^{-ixY_j z_k}) \right) \right| \leq C\varepsilon$$

folgt aus Dreiecksungleichl. (für Term  $(1 - e^{-ixY_j z_k})$  hinzuf.)

Poissonsche Summenformel

Abschätzung Reihenrest mittels Wahl von K

Länglich, aber einfach  $\leadsto$  Literatur

4. Schritt:

$$|h(x) - \frac{1}{\sqrt{2\pi}x} \sum_{k=-K}^{K} \Delta z \cdot e^{-\frac{z_k^2}{2}} (1 - e^{-ixY_j z_k})|$$

Formel für h aus 1. Schritt:

$$\hookrightarrow \leq \frac{2}{\sqrt{2\pi}} \left| \sum_{k=-K}^{K} \underbrace{\left( \frac{i \Delta Y_j z_k}{1 - e^{-ix \Delta Y_j z_k}} - \frac{1}{x} \right)}_{\leq \Delta Y_j |z_k| \text{ da } \left| \frac{1}{1 - e^{-ix}} - \frac{1}{x} \right| < 1 \text{ für } x \in [-1, 1]} \cdot \Delta z e^{-\frac{z_k^2}{2}} \right|$$

$$|z_k| \leq e^{\frac{R_{\max}^2}{4}}$$

$$\hookrightarrow \sqrt{\frac{2}{\pi}} \Delta Y_j \sum_{k=-K}^{K} \Delta z e^{-\frac{z_k^2}{4}} \leq \int_0^{\infty} e^{-\frac{z^2}{4}} dz$$

$$= C \Delta Y_j \leq C \varepsilon$$

up to higher terms

S-Schritt, Kombinierte Schritt 2-4 mit Dreiecksuppl.

$$\Rightarrow |h(x) - \frac{1}{x}| \leq C \cdot \varepsilon$$

□

## Komplexität

Theorem Der  $\varphi$ -LGS kann mit  $\Theta(K \log \frac{K}{\varepsilon})$

Anwendungen von Hamiltonian Sim. für  $e^{-iHt}$  mit  $t = \Theta(K \log \frac{K}{\varepsilon})$  mit Genauigkeit  $\Theta(\frac{\varepsilon}{K \log \frac{K}{\varepsilon}})$  gelöst werden.

Die Gate-Komplexität ist

$$\Theta(s K^2 \log^{2.5}(\frac{K}{\varepsilon}) (\log N + \log^{2.5}(\frac{K}{\varepsilon}))$$

Beweis → Literatur muss  $V, U$  impl.

$$V \text{ in } \Theta(K \log \frac{K}{\varepsilon})$$

$U$  bzw. select  $U_i$  mit Ham. Simulation

$$\text{für } \underset{\text{sparsen}}{\overbrace{s t}} \left( \log N + \log^{2.5} \left( \frac{t}{\varepsilon} \right) \right) \log \frac{t}{\varepsilon}$$

Wahl von  $t \sim$  gew. Genauigkeit

Ham. Sim. muss  $\Theta(K \sqrt{\log \frac{K}{\varepsilon}})$  durchf. werden  
d. in Lemma vorne □

## Chebyshev approach

Idee: ersetze Fourier-Entwicklung durch Chebyshev-Polynome

Problem: sind nicht unitär

Lösung: „Block-encoding“ ( $n+1$ -qubit block enc.)

Sei  $A \in \mathbb{C}^{2^n \times 2^n}$ ,  $\|A\| \leq 1$  und angenommen, dass es  $\exists$  unitäre Matrix  $U \in \mathbb{C}^{2^{n+1} \times 2^{n+1}}$  s.d.

$$U = \begin{pmatrix} A & * \\ * & * \end{pmatrix} \quad \text{hier } * \in \mathbb{C}^{2^n \times 2^n}$$

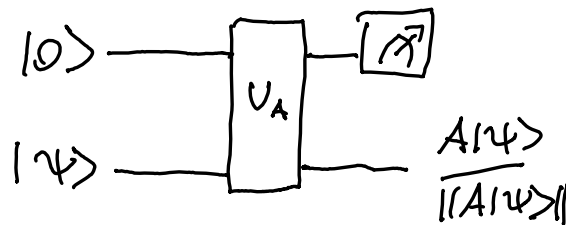
Einträge ~~egal~~, nur wichtig,  
dass  $U$  unitär

$\rightarrow$  Zustände  $|1\rangle$   $\rightsquigarrow$  betrachte  $|0\rangle|\psi\rangle \simeq \begin{pmatrix} \psi \\ 0 \end{pmatrix}$

$$\Rightarrow U(|0\rangle|\psi\rangle) = |0\rangle A|\psi\rangle + \underbrace{|1\rangle|\phi\rangle}_{\text{unwichtig}}$$

$\Rightarrow$  misse  $|0\rangle$  im 1. qubit  $\rightarrow$  Realisierung von  $A|\psi\rangle$

Circuit:  $|0\rangle$  —————  $\boxed{A}$  —————  $|1\rangle$



Bem.  $\cdot) L(U)$  ohne ampl.(stufe Smp.) ist  
Spezialfall von block encoding

- $\cdot)$  für generelles  $A \rightarrow$  schwer  
für sparse  $A \rightarrow$  effizient durchführbar
- 

$\Rightarrow$  Ziel : block encoding von  $A^{-1}$

Theorem Sei  $p \in \mathbb{P}_d$  mit  $\|p\|_{\infty, [-1,1]} \leq \frac{1}{4}$  Polynom  
von Grad  $\leq d$ . Sei  $U$  block enc. von  $A$  mit  $(n+d)$ -qubits.  
 $\Rightarrow$  Ein block encoding von  $P(A)$  mit  $(n+d/2)$ -qubits  
kann mittels  $d$ -Anwendungen von  $U, U^{-1}$ , einer  
Anwendung von controlled- $U$  und  $O(d)$  elem. Gates  
realisiert werden. (? - qubits)

---

Anwendung von Thm. :

Approx.  $f(x) = \frac{1}{x}$  durch  $p(x)$  :

$$\text{für } \tilde{d} = \Theta(K^2 \log \frac{K}{\epsilon})$$

$$\Rightarrow \sup_{x \in D_K} \left| \frac{1 - (1-x^2)^{\tilde{d}}}{x} - \frac{1}{x} \right| \leq \frac{\epsilon}{2}$$
$$\in \mathbb{P}_{2\tilde{d}-1}$$

-) schreibe  $\frac{1 - (1-x^2)^{\frac{d}{2}}}{x} = \sum_{j=0}^{2d-1} d_j T_j$   
 ↴ Cheby. Polynome

-) schnelle Entwicklung bei  $d = O(\log \frac{K}{\epsilon})$  ab  
 → Fehler  $\leq \frac{\epsilon}{2}$

⇒ Theorem gibt eff. Implementierung von  $P_d(A)$

⇒ Anwendung von block encoding → Zustand  $|x\rangle$  mit  
 $||\tilde{x}\rangle - |x\rangle| \leq C\epsilon$

Frage: Gate-komplexität:

$$\Theta\left(s K^2 \log^2\left(\frac{sK}{\epsilon}\right) (\log N + \log^{2.5}\left(\frac{sK}{\epsilon}\right))\right)$$

besser als Fourier approach, braucht aber direkt  
 Sparse access (funktioniert nicht für allg. Matrizen)

Fourier approach → stattdessen Hamiltonian simulation  
 ↳ allgemeiner

# Solving Linear differential equations

Any linear diff. eq. can be reduced to first order system

$$x'(t) = A(t)x(t) + b(t) \in \mathbb{R}^{N_x}$$

$$x(0) = x_0$$

$A(t) \in \mathbb{R}^{N_x \times N_x}$  is  $s$ -sparse,  $s \in \mathbb{N}$ .

Idea 1: Lie-Trotter approach.

$\Rightarrow$  exponential cost in  $t$

$\Rightarrow$  no inhomogeneous equations

Idea 2: Space-time approach

Feynman's clock: Encode time in basis states  $|j\rangle$  and produce output state

$$|\psi\rangle := \sum_{j=0}^{N_t} |j\rangle |x_j\rangle$$

where  $x_j \approx x(t_j)$

ctkiv: 1010.2745  
High-order q. alg. for solving ODEs

Here  $N_t = T/\tau$  ... number of timesteps

$T$  ... Final time

$\tau$  ... size of timestep.

Problem: Probability of measuring  $x(T) \approx x_N$  is small. Idea: extend ODE beyond  $T$  with  $A(t) := I$ ,  $b(t) = 0$   $\forall t \in [T, 2T]$ .

$$\Rightarrow x(t) = x(T) \quad \forall t \in [T, 2T]$$

$\Rightarrow$  increased probability.

---

Example: Forward Euler

$$\frac{x_{j+1} - x_j}{\tau} = A(t_i)x_i + b(t_i) \quad \forall t \in [0, 2T]$$

define  $\vec{x} := \begin{pmatrix} x_0 \\ x_1 \\ \vdots \\ x_{N_t} \end{pmatrix}$ ,  $\vec{b} := \begin{pmatrix} x_0 \\ b_0 \\ b_1 \\ \vdots \\ b_{N_t} \\ 0 \\ \vdots \\ 0 \end{pmatrix}$

$$A = \begin{pmatrix} I & & & \\ -(I + A\tau) & I & & \\ & - (I + A\tau) & I & \\ & & -I & I \\ & & & \ddots \\ & & & II \end{pmatrix}$$

$2N \times 2N$   
 $\in \mathbb{R}$

$$\Rightarrow \text{Euler} \Leftrightarrow \underline{\dot{x} = b}$$

$\sum_{i=1}^n i^2 \approx \sqrt{n^3} = n^{\frac{3}{2}}$

Informal Analysis: local Euler error  $\approx \tau^2$

$\Rightarrow$  Error at end-time  $2N \tau^2 \approx \frac{T^2}{N}$   
 to achieve error  $\approx \epsilon$ , we need  $N \approx \frac{T^2}{\epsilon}$

Use HHL Algorithm to solve Linear system

$\Rightarrow$  require bounded cond. number

Consider  $\begin{pmatrix} 1 & & & \\ -1 & 0 & & \\ & & \ddots & \\ 0 & & & 1 \end{pmatrix} \begin{pmatrix} 1 \\ 2 \\ \vdots \\ n \\ x \end{pmatrix} = \begin{pmatrix} 1 \\ 1 \\ \vdots \\ 1 \\ b \end{pmatrix} \Rightarrow \frac{\|Ax\|}{\|x\|} \geq \frac{\|A\|}{\sqrt{\sum_{i=1}^n i^2}} \approx \frac{n^{\frac{3}{2}}}{n^2} = \sqrt{n}$

$$\text{Hence } K \approx 2N_x N_z \approx T^2$$

$\uparrow$  cond. number of A

$\Rightarrow$  HHL alg requires at least  $K^2 \approx T^4$  operations  
possible improvement:

Multistep methods

$$\sum_{e=0}^K \alpha_e x_{j+e} = \sum_{e=0}^K \beta_e \left( A(t_{j+e})x_{j+e} + b(t_{j+e}) \right)$$

Stability of method given by

$$\rho(\xi) = \sum_{j=0}^k \alpha_j \xi^j, \quad \sigma(\xi) = \sum_{j=0}^k \beta_j \xi^j$$

Let  $R_j(\mu)$  denote the roots of

$$\rho(\xi) - \mu \sigma(\xi) = 0$$

and define

$$S := \left\{ \mu \in \mathbb{C} \mid \begin{array}{l} \text{all roots } R_j(\mu) \text{ satisfy } |R_j(\mu)| \leq 1 \\ \text{multiple roots } R_j(\mu) \text{ satisfy } |R_j(\mu)| < 1 \end{array} \right\}$$

if all roots of  $\sigma$  satisfy  $|R_j(\mu)| \leq 1 \Rightarrow$  method is stable at infinity.

In matrix form, the method reads

$$\underline{A}_{ij} = I \quad 0 \leq j < k, \quad N_f < j \leq 2N_f$$

$$\underline{A}_{j,j-1} = - (I + A_C) \quad 1 \leq j < k$$

$$\underline{A}_{j,j-k+l} = \alpha_e I - \beta_e A_C \quad k \leq j \leq N_f, \quad 0 \leq l \leq k$$

$$\underline{A}_{j,j-1} = - I \quad N_f < j \leq 2N_f$$

$$b_0 = x_0$$

$$b_j = b_h \quad 1 \leq j < k$$

$$b_j = \sum_{e=0}^k \beta_e b_h \quad k \leq j \leq N_f$$

$$b_j = 0 \quad N_f < j \leq N_f$$

Assume Oracle:  $O_A |j, e\rangle |z\rangle = |j, e\rangle z \otimes A_{j,e}$

$$O_A^- |j, e\rangle = |j, f(j, e)\rangle$$

↪  $e$ th nonzero in column  $j$

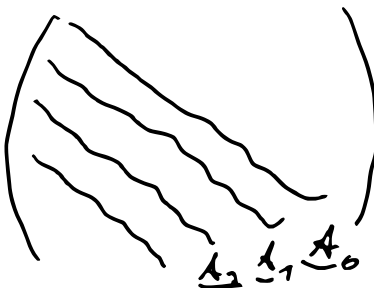
binary rep.

Similar Oracle for  $\ell_1$  nonzero in row  $j$  needed.

Lemma There holds  $\|\underline{A}\| \leq 1$  if  
 $\frac{1}{c} \leq \frac{1}{\|A\|}$ .

Proof We write  $\underline{A}$  as sum of block-diags

$$\underline{A} = \sum_{k=0}^r \underline{A}_k$$



$$\Rightarrow \|\underline{A}_0\| \leq \max\{1, |\lambda_0| + |\beta_0| h \|A\|\}$$

$$\|\underline{A}_1\| \leq \max\{1 + h \|A\|, |\lambda_{k-1}| + |\beta_{k-1}| h \|A\|\}$$

$$\|\underline{A}_k\| \leq |\lambda_k| + |\beta_k| h \|A\| \quad \forall 2 \leq k \leq k$$

$$\Rightarrow \|\underline{A}\| \leq \sum_{k=0}^k \|\underline{A}_k\| \leq k \leq 1. \quad \square$$

Lemma Assume that  $A = VDV^{-1}$  with eigenvalues  $\lambda_i$  s.t.  $|\arg(-\lambda_i)| \leq \alpha$ . Assume the multistep method is  $A(\alpha)$ -stable ( $S \supseteq \{\lambda \in \mathbb{C} \mid |\arg(-\lambda)| < \alpha, \lambda \neq 0\}$ ). Then,  $\|\underline{A}^{-1}\| \leq N_r K_r$ , where  $K_r := \|V\| \|V^{-1}\|$

Proof Let  $\underline{V}$  denote the block-diag matrix  $\underline{V} = \begin{pmatrix} V & & \\ & V & \\ & & V \end{pmatrix}$  and  $\underline{D}$  the matrix  $\underline{A}$  where we replace  $A$  with  $D$ . Then

$$\underline{A} = \underline{V} \underline{D} \underline{V}^{-1} \text{ and } \|\underline{A}^{-1}\| \leq K_r \|\underline{D}^{-1}\|.$$

It remains to estimate  $\|\underline{D}^{-1}\|$ .

$$\underline{D} = \sum_{k=0}^K \underline{D}_k \quad \text{with (off-diagonal) block-matrices } \underline{D}_k \quad (\begin{array}{c|c} \cdots & 0 \end{array})$$

Case  $\ell = 1$ :

$$\begin{aligned}\underline{\tilde{D}}^{\wedge} &= (\underline{D}_0 + \underline{D}_1)^{-1} = \underline{D}_0^{-1} (I + \underline{D}_1 \underline{D}_0^{-1})^{-1} \\ &= \underline{D}_0^{-1} \sum_{k=0}^{\infty} (-\underline{D}_1 \underline{D}_0^{-1})^k\end{aligned}$$

$\underline{D}_1 \underline{D}_0^{-1}$  is of form  $\begin{pmatrix} 0 & \cdots & 0 \\ \vdots & \ddots & \vdots \\ 0 & \cdots & 0 \end{pmatrix}$

$$\Rightarrow (\underline{D}_1 \underline{D}_0^{-1})^k = 0 \quad \forall k \geq N_+$$

The off-diagonal entries have the form

$$(1 + \ell\varepsilon)^k \leq 1 \quad \forall k \leq \frac{1}{\varepsilon} = N_+$$

$$\Rightarrow \| \underline{\tilde{D}}^{\wedge} \| \leq N_+$$

Case  $\ell > 1$ : (sketch)  $\underline{D}_{\gamma=v}$  corresponds to the discretization of the system

$$y^{(i)}(t) = \lambda_j y^{(i)}(t) + r^{(i)}(t)$$

Since the method is  $\alpha$ -stable, the numerical approximations  $y_i^{(j)}$  can not grow unless forced by  $r^{(j)}$

Let  $(y_i^{(j),k})_{i=1}^{N_+}$  denote the solution with rhs  $(r_i^{(j)}, \delta_{ik})_{i=1}^{N_+}$  and initial cond.  $x_0, \delta_{k0}$

$$\Rightarrow y_i^{(j)} = \sum_{k=0}^{N_+} y_i^{(j),k}$$

Stability shows  $|y_i^{(j),k}| \leq |r_k^{(j)}| \quad \forall i \in k$

$$\begin{aligned} \Rightarrow \|y^{(j)}\| &\leq \sum_{k=0}^{N_+} \sqrt{(N_+ - k)!} |r_k^{(j)}| \\ &\leq N_+ \underbrace{\sqrt{\sum_{k=0}^{N_+} |r_k^{(j)}|^2}}_{\|r^{(j)}\|} \end{aligned}$$

$$\Rightarrow \|y\| \leq N_+ \|r\|$$

□

Theorem Under the above assumptions  
the HHL Algo produces a state proportional

to

$$|\psi\rangle = \sum_{j=0}^{N_x} |j\rangle |x_j\rangle$$

with error  $\epsilon$  in

$$\tilde{O}\left(\log N_x \cdot s^{\frac{9}{2}} (\|A\|T)^{2+\frac{3}{p}} K_V^5 \left(\|x_0\| + \frac{\|b\|}{\|A\|}\right) \epsilon^{-2}\right)$$

calls to the oracles for  $A, b$ , and  $x_0$

arXiv:1701.03684 (Berry, Childs, Ostrander, Wang)

Theorem Suppose  $A = VDV^\top$  with

$\text{Re } D \leq 0$ . Assume  $A(t)=A$  and  $b(t)=b$ .

There exists a Q-Algo which produces

$\frac{x(T)}{\|x(T)\|}$  up to error  $\epsilon$  with

$$\tilde{O}\left(K_V s g^T \|A\| \text{poly}(\log(K_V s p \beta T \frac{\|A\|}{\epsilon}))\right)$$

$$\max_{t \in [0, T]} \frac{\|x(t)\|}{\|x(T)\|}$$

$$\frac{\|x_0\| + T \|b\|}{\|x(T)\|}$$

Query calls.